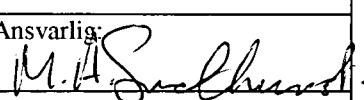


NGU Rapport 2001.021

Borehullsinspeksjon med Optisk Televueer,  
SiA, Lørenskog, Akershus

|   |   |                        |
|---|---|------------------------|
| Rapport nr.: 2001.021   | ISSN 0800-3416                                    | Gradering: Åpen        |
| Tittel:<br>Borehullsinspeksjon med Optisk Televue, SiA, Lørenskog, Akershus   |   |                        |
| Forfatter:<br>Harald Elvebakke  | Oppdragsgiver:<br>NGU                             |                        |
| Fylke:<br>Akershus  | Kommune:<br>Lørenskog                             |                        |
| Kartblad (M=1:250.000)<br>Oslo  | Kartbladnr. og -navn (M=1:50.000)<br>1914 IV Oslo |                        |
| Forekomstens navn og koordinater:<br>SiA, 32V 611330 6645455 WGS 84   | Sidetall: 49<br>Kartbilag: 1                      | Pris: kr 275           |
| Feltarbeid utført:<br>15.08.2000  | Rapportdato:<br>15.03.2001                        | Prosjektnr.:<br>282701 |
| Ansvarlig:   |   |                        |
| Sammendrag:<br><br>Det er gjort borehullsinspeksjon med optisk televue i et 245 m dypt borehull ved SiA, Sentralsykehuset i Akershus, Lørenskog kommune. I tillegg er det logget temperatur og elektrisk ledningsevne i vannet samt målt total gammastråling langs borehullet. Hullet er boret i forbindelse med prosjektering av grunnvarmeanlegg.<br><br>Ledningsevnemålingene viser et område mellom 80 og 130 m dyp hvor ledningsevnen får en ekstra trinnvis økning. Dette kan tyde på åpne sprekker med innstrømning av vann med høyere ledningsevne enn i borehullet for øvrig. Den optiske loggen viser at det i dette området er flere sprekker, og flere av dem er trolig åpne. Ellers har målingene med optisk televue kartlagt strøkretning og fallvinkel til alle observerte sprekker og strukturer i borehullet. Disse data er presentert i stereografisk prosjeksjon. Her er det også definert grupper av sprekker som representerer hovedsprekkesetninger. Sprekkesfrekvensen (antall sprekker pr. meter) er beregnet for hver definerte sprekkesgruppe langs hele hullet. I tillegg er hullet inndelt i soner hvor sprekkesfrekvensen er beregnet i hver sone.<br><br>Resultatene viser hovedsprekkesetninger-fallvinkel på N019 - 17, N265 - 50, øverst i hullet. Oppsprekkingen (sprekkesfrekvensen) er størst mellom 53 og 153 m dyp. Her ligger sprekkesfrekvensen i de definerte sonene mellom 6 og 8 sprekker pr. meter. Over og under dette dyp er maksimal sprekkesfrekvens 3 - 5 sprekker pr. meter. Sprekkesfrekvensen er presentert i frekvenshistogrammer som også viser at flere soner i hullet er lite oppsprukket.<br><br>Borehullsavviket er på ca 28 m i bunn av borehullet. Hullet dreier omrent rett nord med en svak vestlig komponent.<br><br>Til denne rapporten kan skaffes en CD med et replay program for avspilling av OPTV logg for hele borehullet. Data ligger på denne CD. |   |                        |
| Emneord: Geofysikk  | Borehullslogging                                  | Optisk Televue         |
| Sprekkesone   | Grunnvarme  |                        |
|   |   | Fagrapport             |

## **INNHOLD**

|       |   |    |
|-------|---|----|
| 1.    | INNLEDNING .....                                      | 4  |
| 2.    | MÅLEMETODE OG UTFØRELSE .....                         | 4  |
| 3.    | RESULTATER .....                                      | 5  |
| 3.1   | Temperatur, elektrisk ledningsevne og gammalogg ..... | 5  |
| 3.2   | Optisk Televue data, sprekkekartlegging .....         | 7  |
| 3.2.1 | Stereogram og frekvenshistogrammer .....              | 7  |
| 3.2.2 | Sprekkeretninger .....                                | 18 |
| 3.2.3 | Sprekkesfrekvens .....                                | 18 |
| 3.2.4 | Eksempler på tolket logg .....                        | 19 |
| 3.2.5 | Eksempler på bilde logg .....                         | 25 |
| 3.3   | Borehullsforløp .....                                 | 29 |
| 4.    | KONKLUSJON .....                                      | 30 |
| 5.    | REFERANSER .....                                      | 32 |

## **TABELLER**

Tabell 1: Sprekkeretning, fallvinkel og antall sprekker i borehull ved SiA, Lørenskog.

Tabell 2: SiA, Lørenskog. Soner i borehull med størst oppsprekking.

## **KARTBILAG**

2001.021-01 : Oversiktskart, SiA, Lørenskog. M 1:50 000.

## **FIGURER**

Figur 1 : Kart over området ved SiA og plassering av borehull.

Figur 2 : SiA, Lørenskog. Logger for temperatur, elektrisk ledningsevne og naturlig gamma.

Figur 3 : SiA, Lørenskog. Stereogram av indikerte sprekker og strukturer, 0–53 m.

Figur 4 : SiA, Lørenskog. Frekvenshistogram over indikerte sprekker og strukturer, 0–53 m.

Figur 5 : SiA, Lørenskog. Stereogram av indikerte sprekker og strukturer, 53–104 m.

Figur 6 : SiA, Lørenskog. Frekvenshistogram over indikerte sprekker og strukturer, 53–104 m.

Figur 7 : SiA, Lørenskog. Stereogram av indikerte sprekker og strukturer, 104–148 m.

Figur 8 : SiA, Lørenskog. Frekvenshistogram over indikerte sprekker og strukturer, 104–148m.

Figur 9 : SiA, Lørenskog. Stereogram av indikerte sprekker og strukturer, 148–200 m.

Figur 10:SiA, Lørenskog. Frekvenshistogram over indikerte sprekker og strukturer, 148–200m.

Figur 11:SiA, Lørenskog. Stereogram av indikerte sprekker og strukturer, 200–245m.

Figur 12:SiA, Lørenskog. Frekvenshistogram over indikerte sprekker og strukturer, 200–245m.

Figur 13:SiA, Lørenskog. Tolket OPTV logg, 30 – 35 m.

Figur 14:SiA, Lørenskog. Tolket OPTV logg, 55 – 60 m.

Figur 15:SiA, Lørenskog. Tolket OPTV logg, 73 – 78 m.

Figur 16:SiA, Lørenskog. Tolket OPTV logg, 80 – 85 m.

Figur 17:SiA, Lørenskog. Tolket OPTV logg, 115 – 120 m.

Figur 18:SiA, Lørenskog. OPTV Bilde logg, 105 – 118 m.

Figur 19:SiA, Lørenskog. OPTV Bilde logg, 126 – 138 m.

Figur 20:SiA, Lørenskog. OPTV Bilde logg, 222 – 239 m.

Figur 21:SiA, Lørenskog. Borehullsforløp, vertikalprojeksjon i nord-sør og øst-vest retning.

Figur 22:SiA, Lørenskog. Borehullsforløp, horisontalprojeksjon.

## **DATABILAG**

Databilag 1 - 5 : SiA, Lørenskog. Sprekke- og borehullsdata. Retning og fall til alle sprekker.

Databilag 6 – 10: SiA, Lørenskog. Data for gjennomsnittlig retning, fall og sprekkesfrekvens for definerte soner i borehullet.

## **1. INNLEDNING**

NGU har gjort borehullsinspeksjon med optisk televue, OPTV, i forbindelse med planlegging av grunnvarmeanlegg ved Sentralsykehuset i Akershus (SiA), Lørenskog kommune (Midtømme et. al 2000). Målingene er gjort i en testbrønn som var boret ned til 245 m. Hensikten var å kartlegge geologi og oppsprekking i borehullet. Det ble også målt temperatur og elektrisk ledningsevne i vannet, samt total gammastråling langs hele hullet. Hele hullet er også avviksmålt. Kartbilag –01 viser oversiktskart med borehullslokalitet.

Målingene ble utført 15.08.2001 av Harald Elvebakk.

## **2. MÅLEMETODE OG UTFØRELSE**

Optisk Televue er et geofysisk instrument som brukes ved inspeksjon av borehull. Instrumentet består av et videokamera som kan senkes ned i borehull med en diameter på 70 – 160 mm. Instrumentet senkes med en konstant hastighet på 1m/min og gjør et kontinuerlig opptak av den innvendige borehullsveggen. Det blir tatt et bilde for hver mm nedover i hullet (hele omkretsen, 360°) og bildet deles i 360 eller 720 pixler rundt hele omkretsen. Dette gir meget høy oppløsning og en kan se sprekker med en tykkelse ned til 0.5 mm. Bildet som presenteres er borehullsveggen brettet ut 360°. Innbygde magnetometre orienterer bildet. Dette gjør at en kan bestemme retning og fall til sprekker som skjærer borehullet. Alle indikerte sprekker og geologiske strukturer kan presenteres i stereogram (stereografisk prosjeksjon), histogram som viser sprekkefrekvenser langs et borehull og logger med retning og fall til hver sprek som er indikert i hullet. I tillegg beregnes borehullsforløpet som kan presenteres som horisontal- og vertikalprosjeksjon samt et 3D-plott.

Optisk Televue kan benyttes til inspeksjon av grunnvannsbrønner, grunnvarmebrønner, forundersøkelser for fjellanlegg (tunneler, fjellrom) og er i de fleste tilfeller bedre enn tradisjonell kjerneboring da en får orientert sprekker og strukturer.

Forut for Optisk Televue gjøres en temperatur-, ledningsevne- og gammalogg for hele hullet. Disse parametrerne logges med en og samme sonde med en loggehastighet på 3 m/min. Forandring i vanntemperatur og elektrisk ledningsevne tyder på innstrømning av vann i hullet med andre egenskaper enn i brønnen forøvrig. Økt ledningsevne betyr økt ioneinnhold i vannet. Lavere ledningsevne kan tyde på innstrømning av overflatevann da slikt vann vanligvis har noe lavere ioneinnhold enn vann som har oppholdt seg lenge i fjellet. Kravet til drikkevann er en ledningsevne mindre enn 400 ms cm.

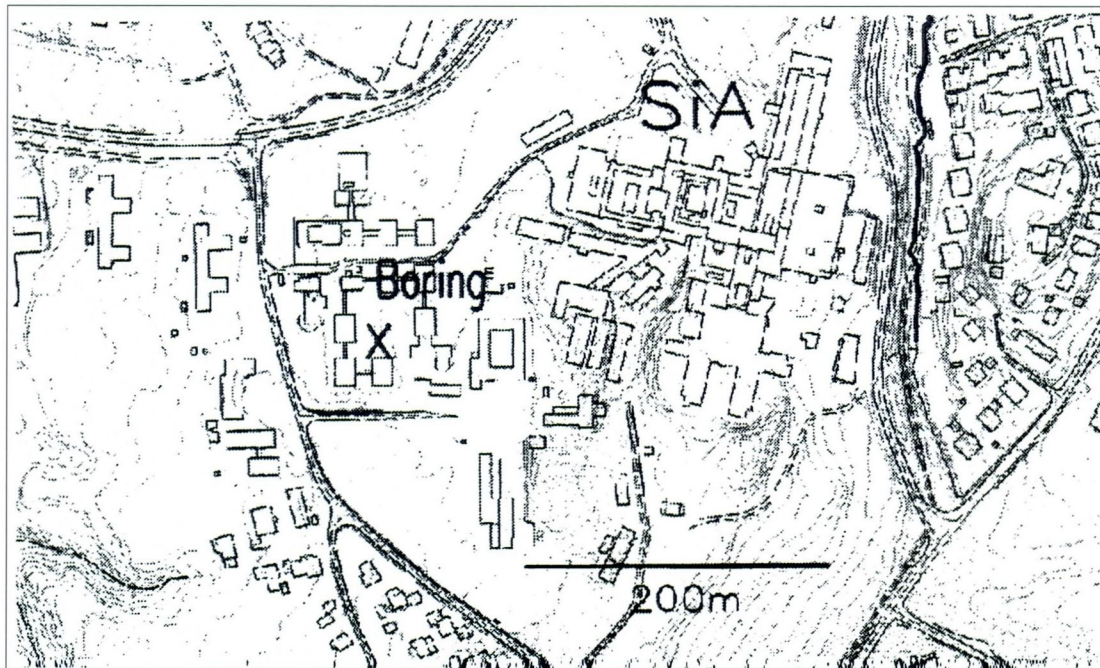
Med gammalogg kartlegges den naturlige gammastrålingen (totalstråling) langs borehullet. Forandringer i gammastråling er knyttet til endringer i geologien og den mineralogiske sammensetningen i bergartene. Det er i hovedsak elementene kalium, uran og thorium som gir gammastråling. Mest vanlig er kalium som finnes i feltspat. Feltspat (kalifeltspat) er et mineral som finnes i de vanligste bergartene. Sandstein, f. eks., har liten gammastråling (mye kvarts), mens noen granitter har sterkere stråling da de inneholder feltspat og i enkelte tilfeller uran.

### 3. RESULTATER

Bergarten det er boret i er dioritt som varierer i farge med innslag av mørke og lyse partier. Dioritten opptrer både som en massiv bergart og som sterkt foliert. Pegmatittganger skjærer gjennom borehullet flere steder.

Alle sprekker og geologiske hendelser i borehullet som er identifisert på den optiske loggen er digitalisert. Resultatene presenteres som stereogram (stereografisk projeksjon) som viser sprekkerretning og fall, frekvenshistogrammer (sprekketethet) som viser antall sprekker pr. meter og borehullsforløp (avvik). Alle data presenteres også i tabellform. P.g.a. store datamengder og lagringsmuligheter av disse, er borehullet delt i 5 deler. Det er derfor laget 5 stereogrammer og 5 frekvenshistogrammer der hver del representerer ca 50 m.

Figur 1 viser et kart over sykehusområdet og plassering av borehullet.



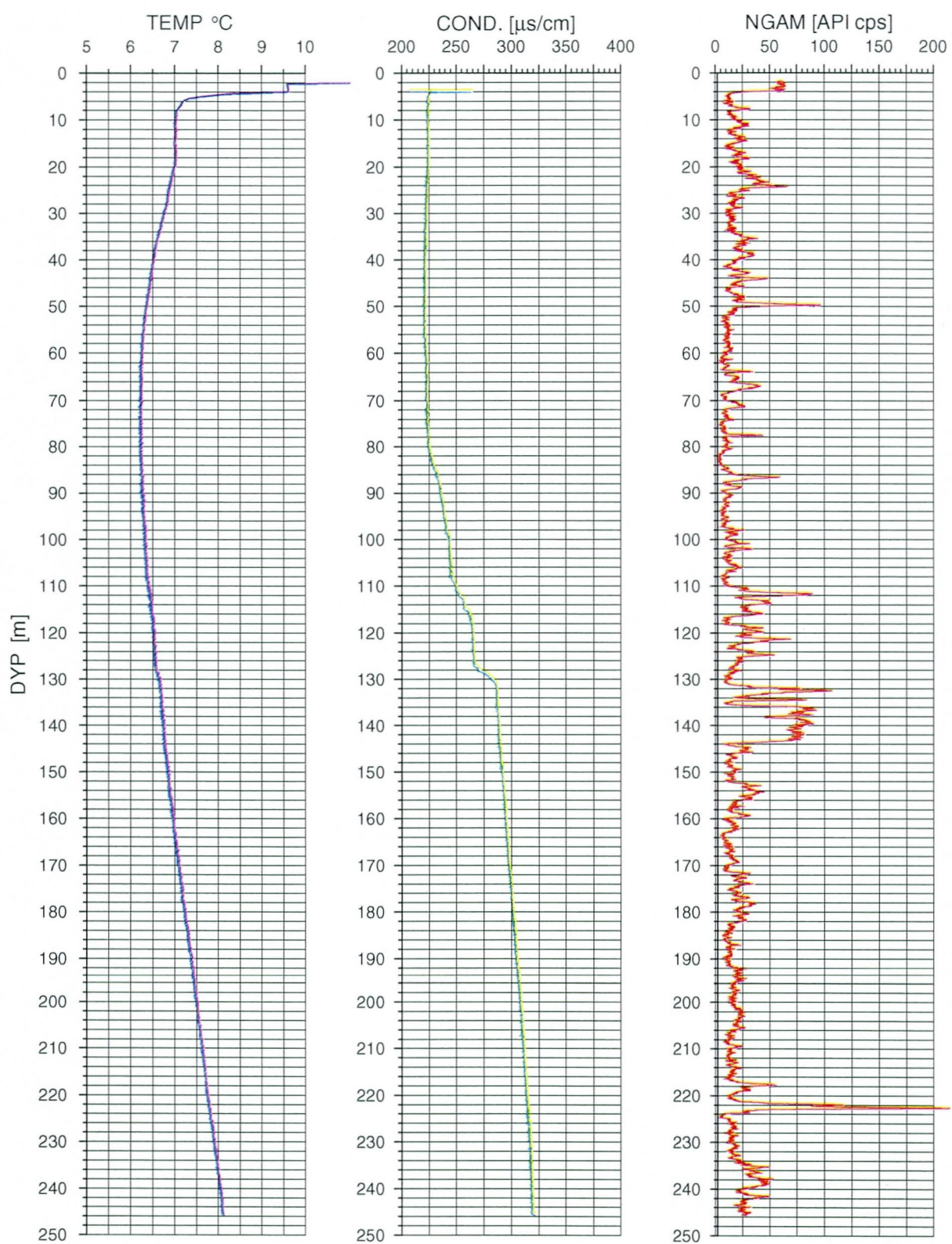
Figur 1. Kart over området ved SiA og plassering av borehull.

#### 3.1 Temperatur, elektrisk ledningsevne og gammalogg

Figur 2 viser temperatur, elektrisk ledningsevne og gammalogg for borehullet ved SiA. Temperaturen faller fra ca  $7^{\circ}\text{C}$  øverst i hullet til et minimum på ca  $6.2^{\circ}\text{C}$  på 72 m dyp. Vanligvis ligger laveste temperatur i fjellgrunnen ikke så dypt. En forklaring kan være tidligere kalde klimaperioder (Midttømme et al. 2000 og Kukkonen et al. 1998). Fra ca 140 m dyp stiger temperaturen jevnt fra  $6.75^{\circ}\text{C}$  til  $8.1^{\circ}\text{C}$  på 245 m dyp hvilket gir en temperaturgradient på  $1.28^{\circ}\text{C}/\text{m}$ . En liten temperaturøkning ved ca 130 m dyp kan tyde på innstrømning av vann med høyere temperatur.

# TEMP. COND. GAMMA LOGG

Sentralsykehuset i Akershus



Figur 2. SiA, Lørenskog. Logger for temperatur, elektrisk ledningsevne og naturlig gamma.

Den elektriske ledningsevnen i grunnvannet viser en svak synkende tendens ned til 52 m. Fra ca 75 m øker ledningsevnen merkbart fra ca 225  $\mu$ s/cm til ca 275  $\mu$ s/cm ved 132 m. En slik markert økning i ledningsevnen antas å skyldes innstrømning av vann fra åpne sprekker som borehullet skjærer gjennom. Økningen skjer trinnvis med den største økningen ved 130 m. Dette stemmer overens med økningen i temperatur på samme dyp. En økning i ledningsevnen skyldes økende ioneinnhold i vannet. Ioneinnholdet i vannet øker med oppholdstiden i fjellgrunnen slik at det neppe er overflatevann med kort oppholdstid som strømmer inn. Fra 130 m øker ledningsevnen jevnt ned til 245 m (320  $\mu$ s/cm).

Gammastrålingen i borehullet er lav. I dioritten er strålingen 10 – 20 cps (counts per second). Stedvis gir pegmatitter og lysere dioritt forhøyet stråling, 100 – 200 cps. Årsaken er høyst sannsynlig økende innhold av kalifeltspat. Kaliumisotopen  $^{40}\text{K}$  er opphav til gammastråling og finnes overalt der feltspat opptrer (meget vanlig mineral).

## 3.2 Optisk Televue data, sprekkekartlegging

Data fra de optiske loggene er prosessert med programvare fra Robertson Geologging. Opptaksforholdene var gode. Digitalisering av observerte sprekker og geologiske hendelser er gjort fra det utbrettede bilde av borehullsveggen. Etter at alle hendelser er digitalisert og plottet i et stereografisk nett, er utvalgte sprekkegrupperinger (hovedretninger) markert med hver sin farge (sirkel) på stereogrammene. Disse fargene og grupperinger går igjen i frekvenshistogrammene. Som nevnt foran er borehullet delt i 5 deler pga. de store datamengdene. Det presenteres derfor 5 stereogrammer og 5 frekvenshistogrammer med tilhørende databeller. I tillegg presenteres bildelogger av utvalgte deler av borehullet som er representative for de bergarter og strukturer som er tilstede. Eksempler på tolket logg vises også.

### 3.2.1 Stereogram og frekvenshistogrammer

Figurene 3 – 12 viser stereogram og frekvenshistogrammer for de 5 seksjonene av borehullet ved SiA. For hver seksjon er det definert 4 grupper (fargede sirkler), (5 i seksjon 148-200 m). Hver gruppe representerer en sprekkeansamling (sprekkeretning). I noen av gruppene kan det være god samling noe som kan tyde på at sprekken representerer samme sprekkesystem (hovedsprekkeretning). I andre grupper er samlingen spredt med få sprekker og representerer neppe noen hovedsprekkeretning. Tabellen ved siden av stereogrammet viser gjennomsnittlig strøkretning og fallvinkel for hver gruppe, antall sprekker n, og sprekkefrekvens f. Den nederste tabellen viser retning og fall til skjæringslinjen (intersection) mellom middelplanene for to og to definerte sprekkegrupper. Den angitte sprekkefrekvensen er gjennomsnittet i den definerte gruppen (farge) og gjelder for hele seksjonen av hullet.

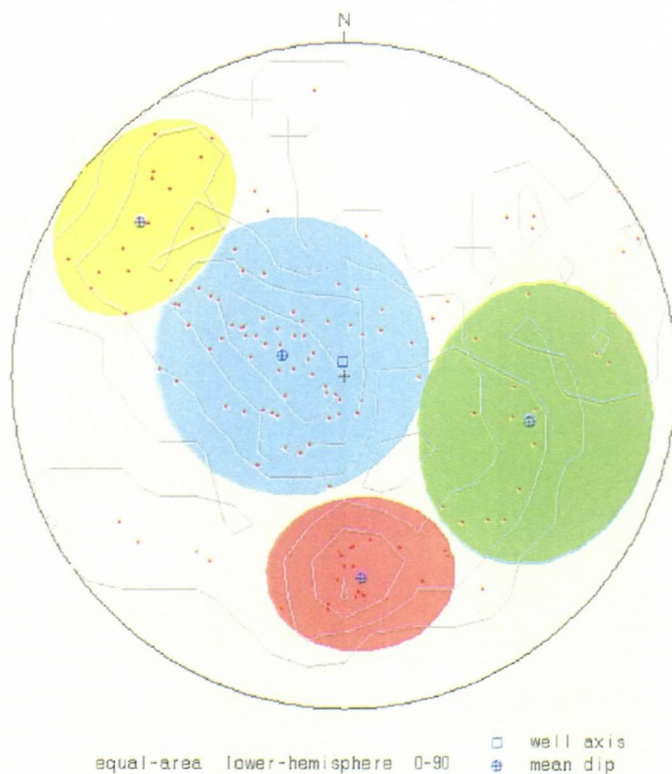
Frekvenshistogrammene viser beregnet sprekkefrekvens i definerte soner av hullet, og viser dermed mer detaljert hvordan oppsprekkingen er i hullet. Alle sprekker er angitt i "pilplot" der pilens hode angir fallet, mens halen angir fallretning. Nord er opp på arket. Hvert pilhode er fylt med den gruppefarge tilsvarende sprekke tilhører. Piler uten farge er sprekker utenfor noen av de definerte gruppene.

Lørenskog  
Zone 0, 5.970 - 52.944m  
Deviation 3.7 N353 2  
dip data sets .....  
OPTY dips

|         | mean dip | n  | f    |
|---------|----------|----|------|
| N019 16 | N019 16  | 51 | 1.34 |
| N265 51 | N265 51  | 21 | 0.82 |
| N194 48 | N194 48  | 15 | 0.50 |
| N037 66 | N037 66  | 15 | 0.68 |

intersections

|         | N019 16 | N265 51 | N194 48 | N037 66 |
|---------|---------|---------|---------|---------|
| N019 16 | X X X X | 34 N030 | 4 N198  | 9 N196  |
| N265 51 | 34 N030 | X X X X | 35 N324 | 13 N068 |
| N194 48 | 4 N198  | 35 N324 | X X X X | 7 N202  |
| N037 66 | 9 N196  | 13 N068 | 7 N202  | X X X X |

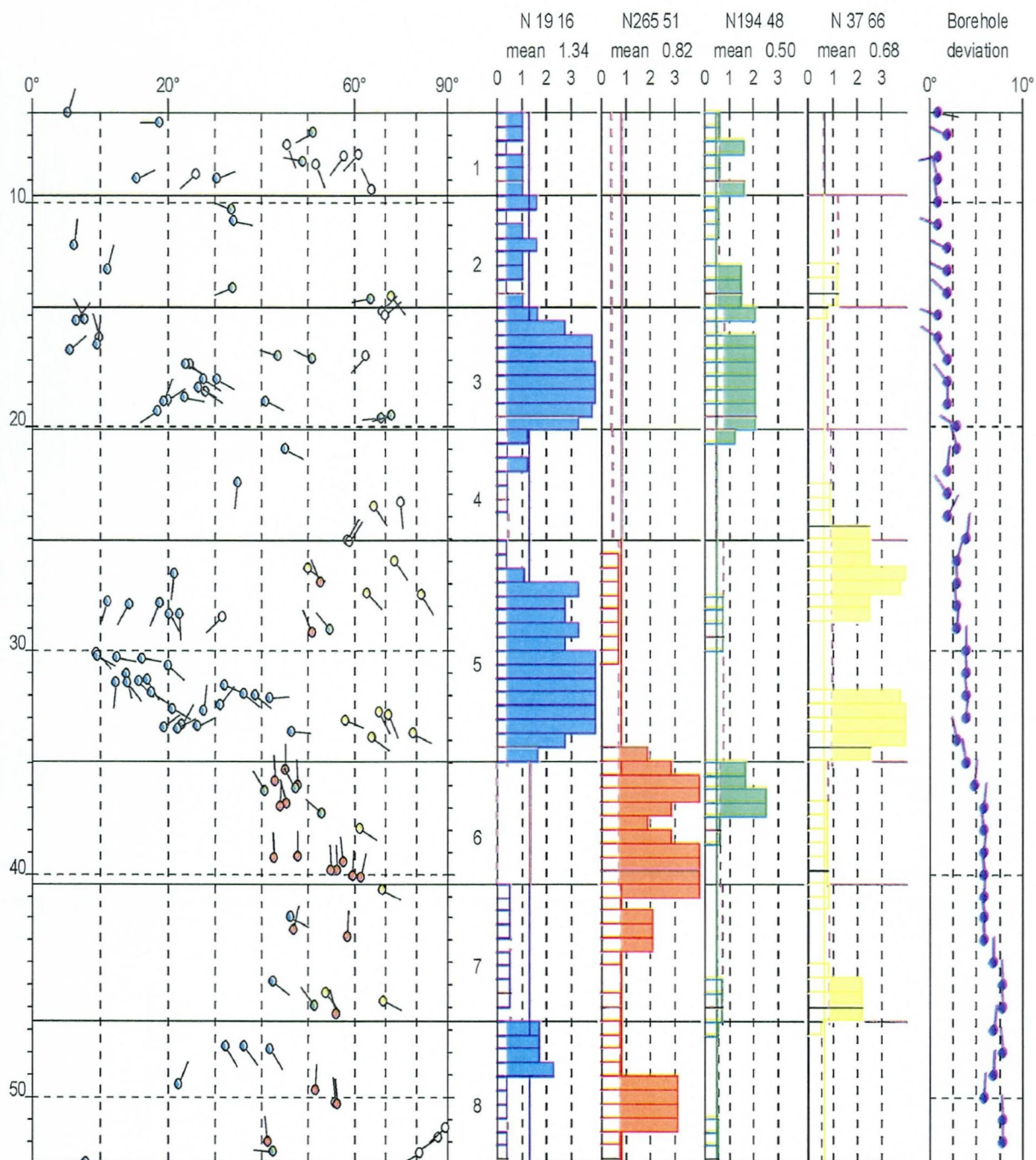


Figur 3. SiA, Lørenskog. Stereogram av indikerte sprekker og strukturer, 0–53 m  
Tabellen viser Strøk og fall til hver sprekkegruppe, antall sprekker i hver gruppe (n) og sprekkefrekvensen (f) for hver gruppe. Nederste tabell viser fall og strøkretning for skjæringslinjen (intersection) mellom middelplanene til to og to definerte grupper.

# OPTISK TELEVIEWER

## Sentralsykehuset i Akershus, Lørenskog

### Frekvenshistogram, 0 - 53 m



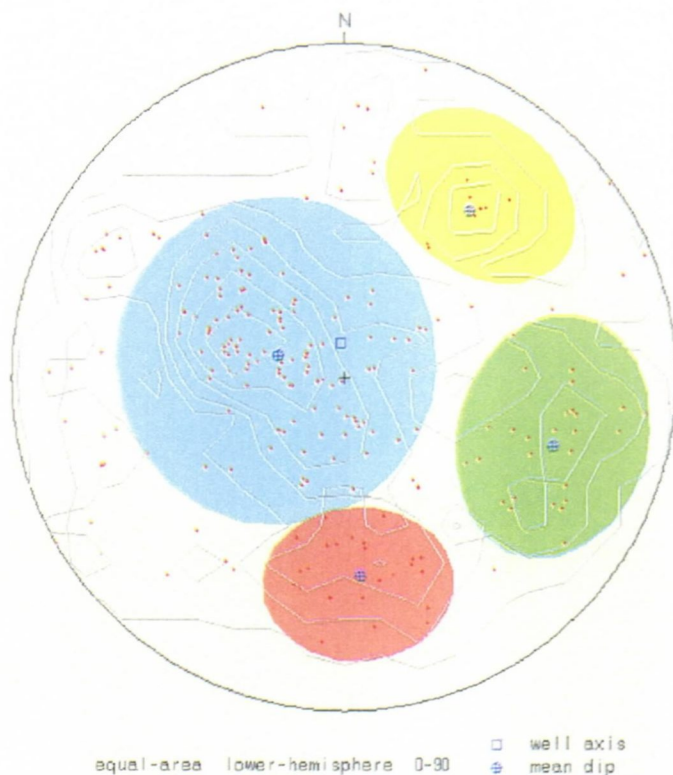
Figur 4. SiA, Lørenskog. Frekvenshistogram over indikerte sprekker og strukturer, 0–53 m.  
Pilhodene, som representerer sprekker, har samme farge som den gruppe de tilhører.  
Halen viser fallretning. Nord er opp på arket. Piler uten farge er sprekker utenfor  
noen definert gruppe.

Lora  
Zone 0, 53.126 - 102.640m  
Deviation 0.5 N355.2  
dip data sets .....  
OPTV dips

|         | mean dip | n   | f    |
|---------|----------|-----|------|
| N019 17 | N019 17  | 116 | 2.43 |
| N265 50 | N265 50  | 25  | 0.98 |
| N198 56 | N198 56  | 27  | 1.10 |
| N127 53 | N127 53  | 9   | 0.26 |

intersections

|         | N019 17 | N265 50 | N198 56 | N127 53         |
|---------|---------|---------|---------|-----------------|
| N019 17 |         | X       | 34 N031 | 1 N199 33 N187  |
| N265 50 | 34 N031 |         | X       | 32 N312 16 N285 |
| N198 56 | 1 N199  | 32 N312 | X       | 30 N257         |
| N127 53 | 33 N187 | 16 N285 | 30 N257 | X               |

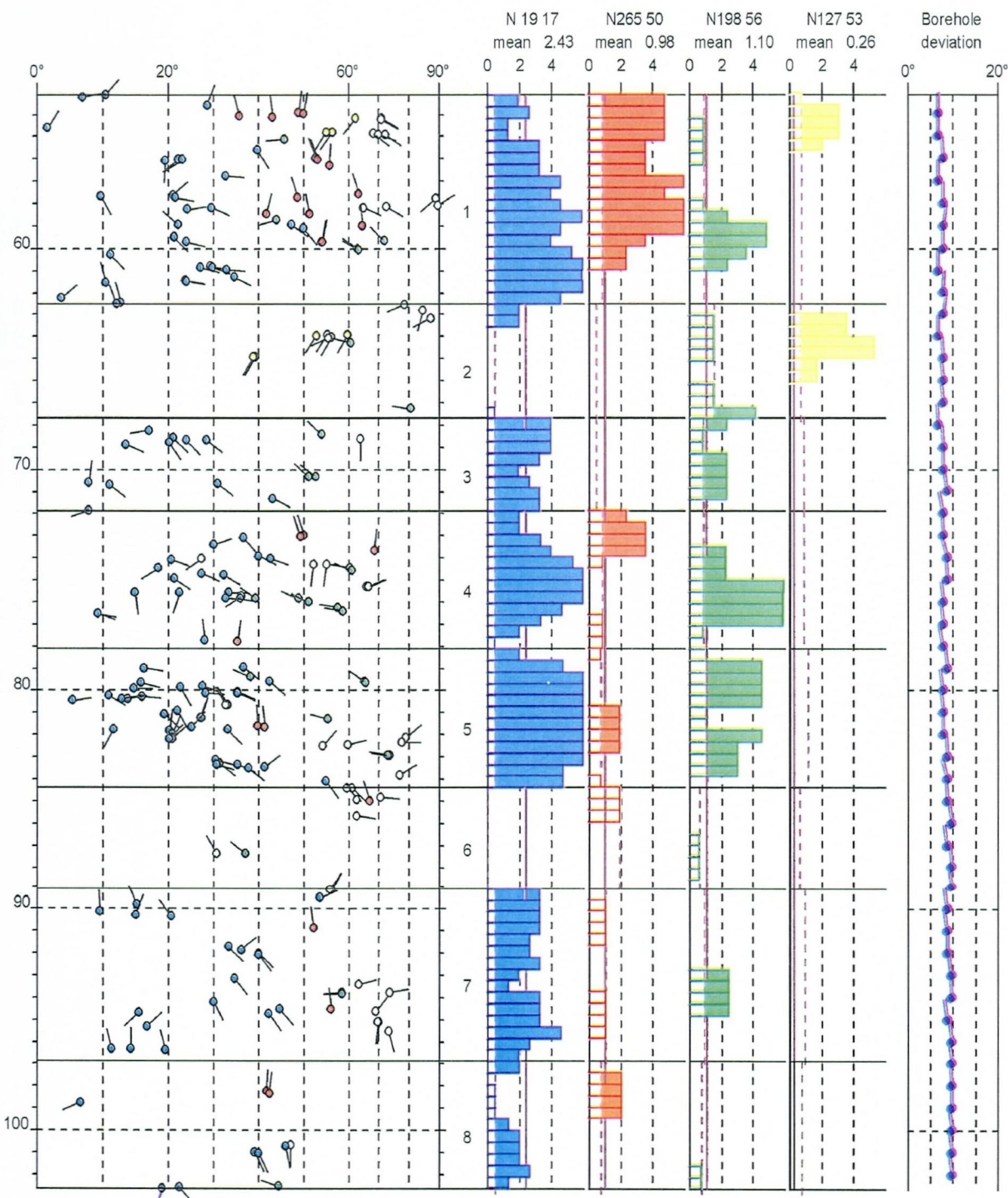


Figur 5. SiA, Lørenskog. Stereogram av indikerte sprekker og strukturer, 53–104 m.

# OPTISK TELEVIEWER

## Sentralsykehuset i Akershus, Lørenskog

### Frekvenshistogram, 53 - 104 m



Figur 6. SiA, Lørenskog. Frekvenshistogram over indikerte sprekker og strukturer, 53–104 m.

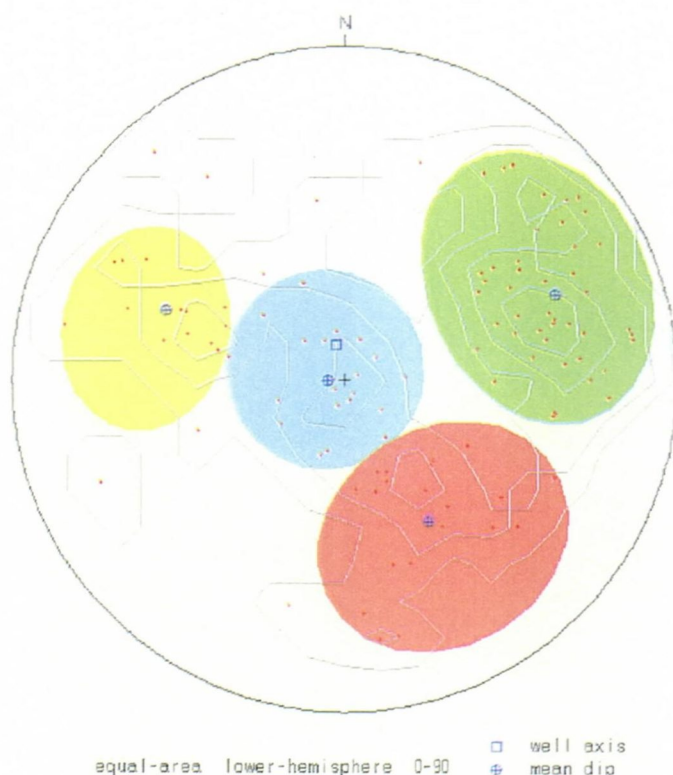
Zone 0, 104.110 - 144.812m  
 Deviation 0.7 N345.3

dip data sets .....  
 OPTV dips

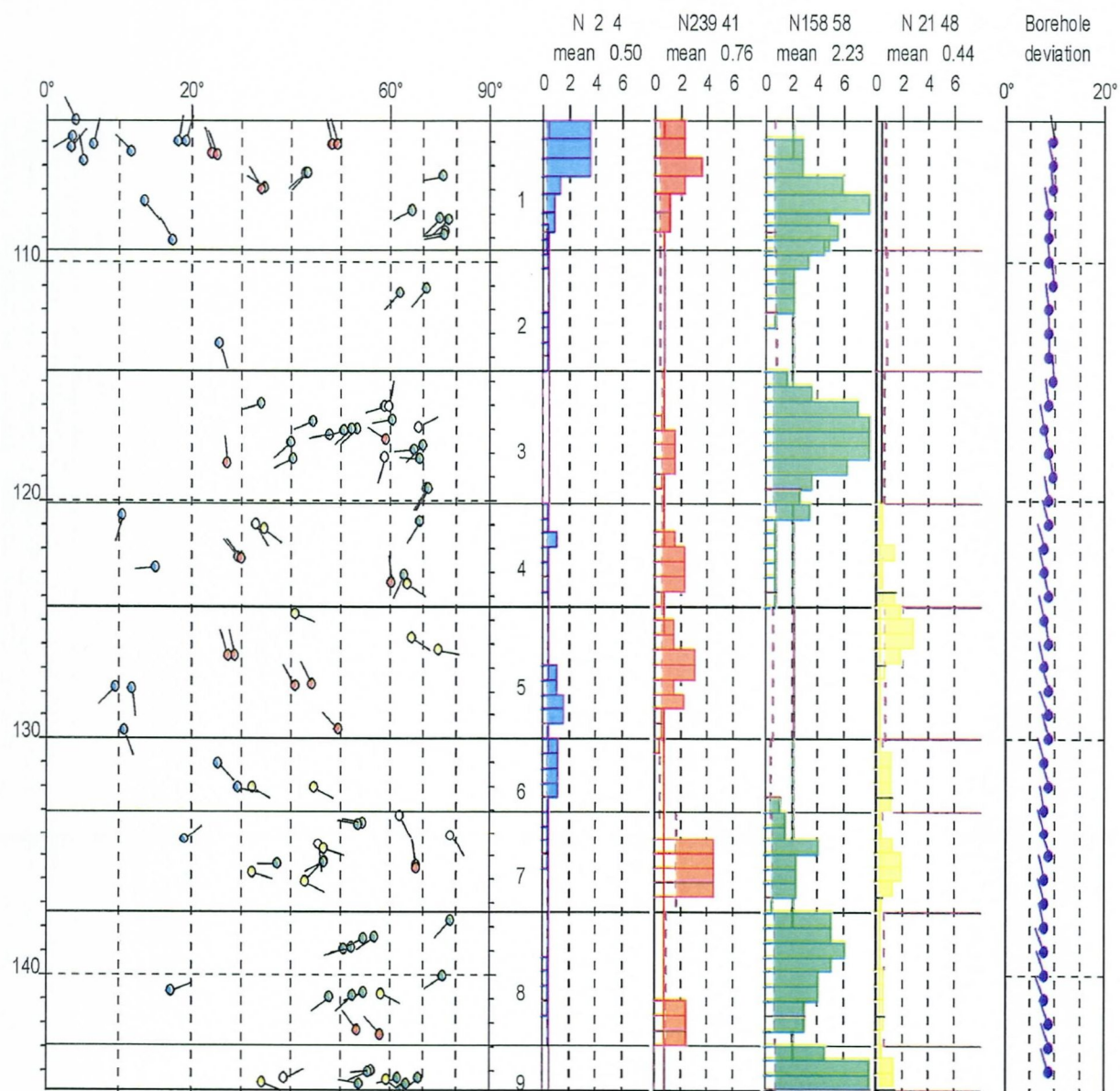
| mean dip | n       | f  |      |
|----------|---------|----|------|
| N002 04  | N002 04 | 20 | 0.50 |
| N239 41  | N239 41 | 20 | 0.76 |
| N158 58  | N158 58 | 48 | 2.23 |
| N021 48  | N021 48 | 13 | 0.44 |

intersections

|         | N002 04 | N239 41 | N158 58 | N021 48 |
|---------|---------|---------|---------|---------|
| N002 04 | X       | 43 N006 | 14 N181 | 17 N181 |
| N239 41 | 43 N006 | X       | 30 N269 | 18 N042 |
| N158 58 | 14 N181 | 30 N269 | X       | 15 N184 |
| N021 48 | 17 N181 | 18 N042 | 15 N184 | X       |



Figur 7. SiA, Lørenskog. Stereogram av indikerte sprekker og strukturer, 104-148 m.



Figur 8. SiA, Lørenskog. Frekvenshistogram over indikerte sprekker og strukturer, 104-148 m

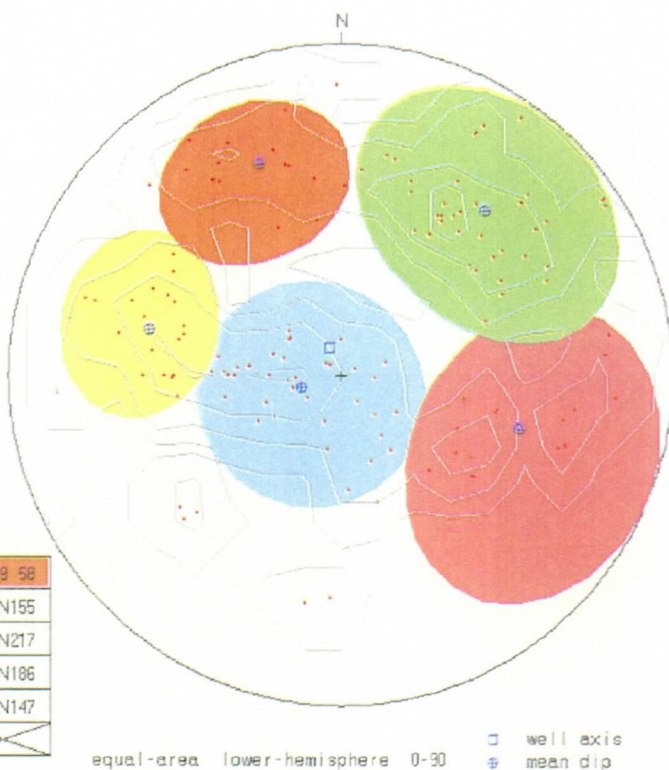
Zone 0, 148.149 - 195.753m  
 Deviation 7.6 N339.8

dip data sets .....  
 .OPTV dips

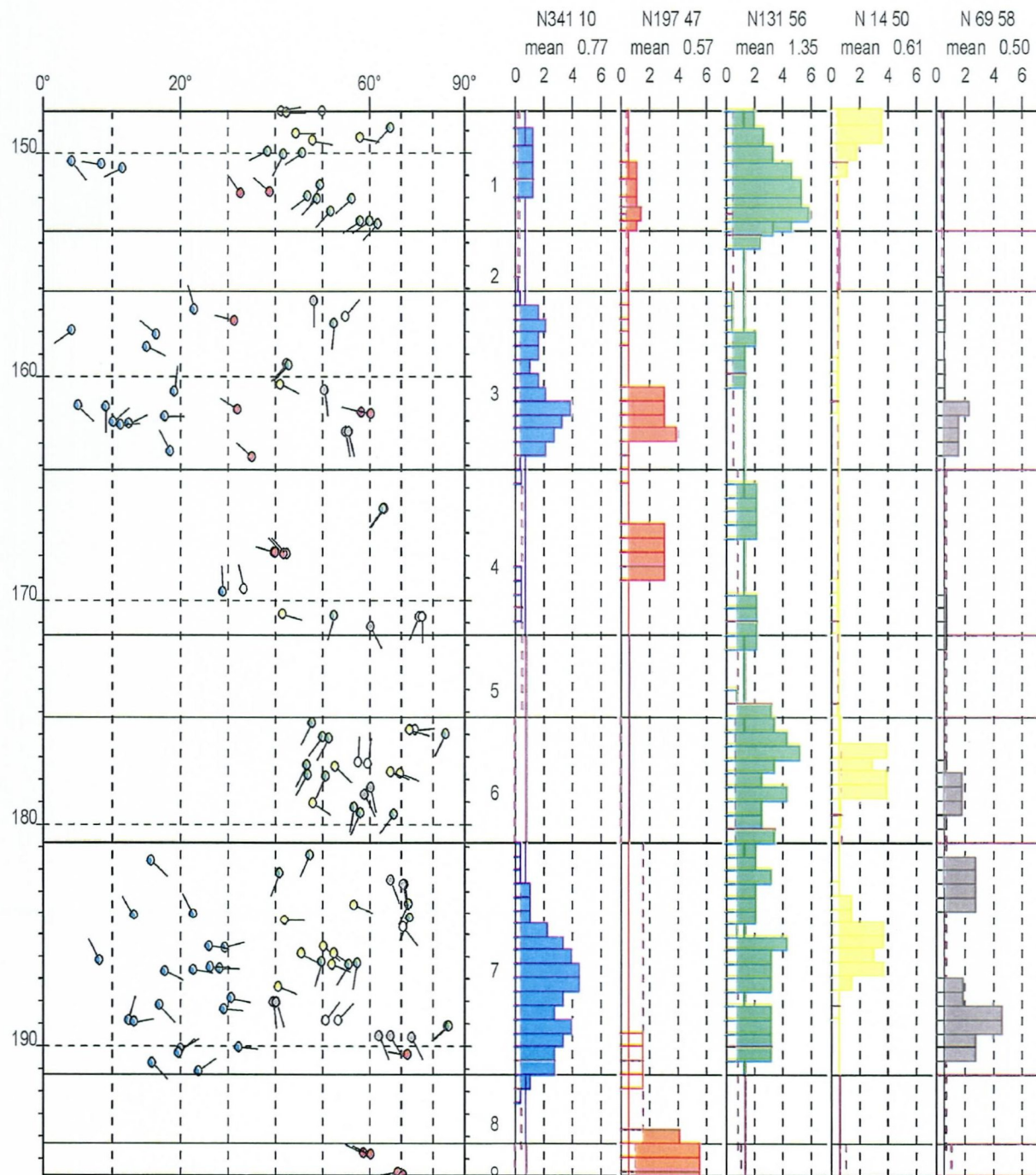
|         | mean dip | n  | f    |
|---------|----------|----|------|
| N341 10 | N341 10  | 36 | 0.77 |
| N197 47 | N197 47  | 17 | 0.57 |
| N131 56 | N131 56  | 39 | 1.35 |
| N014 50 | N014 50  | 20 | 0.61 |
| N069 58 | N069 58  | 15 | 0.50 |

intersections

|         | N341 10 | N197 47 | N131 56 | N014 50 | N069 58 |
|---------|---------|---------|---------|---------|---------|
| N341 10 |         | X       | 26 N346 | 17 N158 | 27 N156 |
| N197 47 | X       |         | X       | 33 N240 | 1 N016  |
| N131 56 | 26 N346 | X       |         | 21 N166 | 29 N186 |
| N014 50 | 17 N158 | 33 N240 | X       | 21 N166 |         |
| N069 58 | 27 N156 | 1 N016  | 21 N166 | X       | 31 N147 |
|         | 32 N155 | 18 N217 | 29 N106 | 31 N147 | X       |



Figur 9. SiA, Lørenskog. Stereogram av indikerte sprekker og strukturer, 148-200 m.



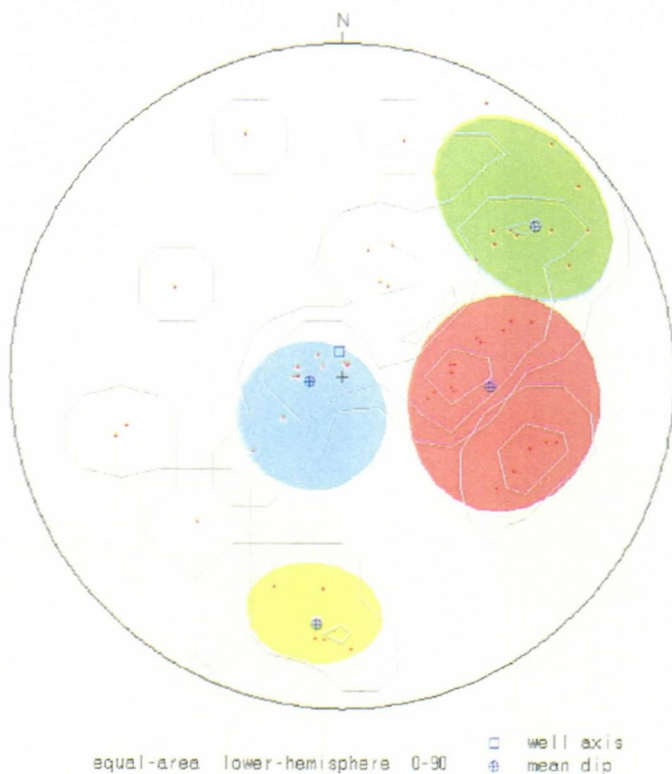
Figur 10. SiA, Lørenskog. Frekvenshistogram over indikerte sprekker og strukturer, 148-200 m.

Zone 0, 201.476 - 245.056m  
 Deviation 6.2 N353.7  
 dip data sets .....  
 OPTV dips

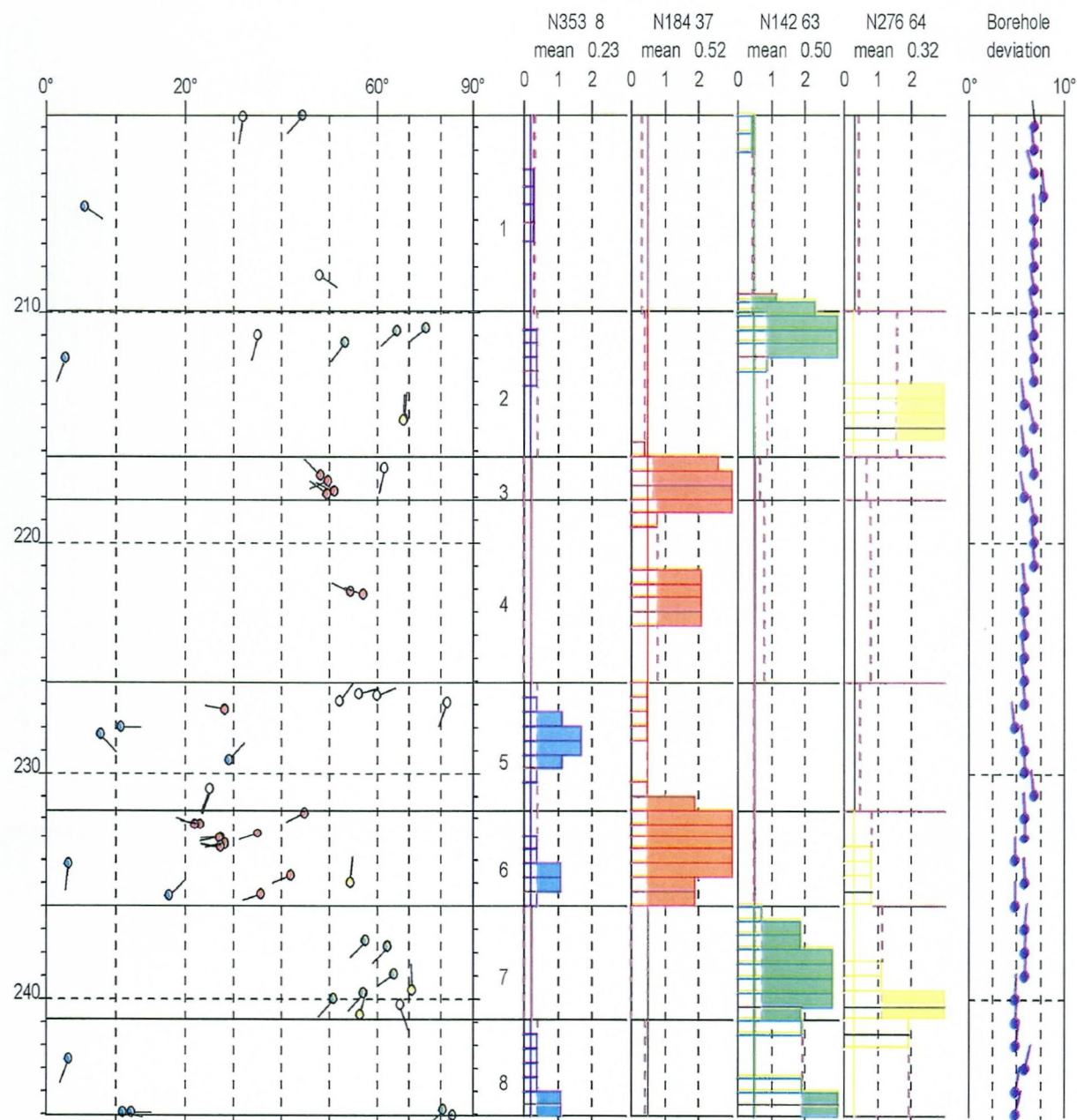
|         | mean dip | n  | t    |
|---------|----------|----|------|
| N353 08 | N353 08  | 10 | 0.23 |
| N184 37 | N184 37  | 18 | 0.52 |
| N142 63 | N142 63  | 11 | 0.50 |
| N276 64 | N276 64  | 5  | 0.32 |

intersections

|         | N353 08 | N184 37 | N142 63 | N276 64 |
|---------|---------|---------|---------|---------|
| N353 08 |         | X       | 12 N355 | 14 N171 |
| N184 37 | 12 N355 |         | X       | 24 N204 |
| N142 63 | 14 N171 | 24 N204 |         | X       |
| N276 64 | 26 N357 | 24 N344 | 11 N300 | X       |



Figur 11. SiA, Lørenskog. Stereogram av indikerte sprekker og strukturer, 200-245 m.



Figur 12. SiA, Lørenskog. Frekvenshistogram over indikerte sprekker og strukturer, 200-245 m.

### 3.2.2 Sprekkeretninger

Tabell 1 viser en sammenstilling av alle seksjoner med definerte grupper. Her ser en gjennomsnittlig retning og fall for hver gruppe og antall sprekker i hver gruppe. Den blå gruppen ser ut til å representere en hovedsprekkeretning. Det kan imidlertid se ut som om retningen forandres noe mot dypet, fra N019 til N341, N353. Fallet er lite i hele hullet, fra 4 – 17°. Den samme tendensen ser en også for rød og grønn gruppe.

| Seksjon<br>Gruppe \ | 0-53 m<br>retn. dip<br>antall | 53–104 m<br>retn. dip<br>antall | 104–148 m<br>retn. dip<br>antall | 148-200 m<br>retn. dip<br>antall | 200-245 m<br>retn. dip<br>antall | Totalt |
|---------------------|-------------------------------|---------------------------------|----------------------------------|----------------------------------|----------------------------------|--------|
| <b>BLÅ</b>          | N019 – 16<br>61               | N019 – 17<br>116                | N002 – 4<br>20                   | N341 – 10<br>36                  | N353 – 8<br>10                   | 243    |
| <b>RØD</b>          | N265 – 51<br>21               | N265 – 50<br>25                 | N239 – 41<br>20                  | N197 – 47<br>17                  | N184 – 37<br>18                  | 101    |
| <b>GRØNN</b>        | N194 – 48<br>15               | N198 – 56<br>27                 | N158 – 58<br>48                  | N131 – 56<br>39                  | N142 – 63<br>11                  | 140    |
| <b>GUL</b>          | N037 – 66<br>15               | N127 – 53<br>9                  | N021 – 58<br>13                  | N014 – 50<br>20                  | N276 – 64<br>5                   | 52     |
| <b>BRUN</b>         |                               |                                 |                                  | N069 – 58<br>15                  |                                  | 15     |

**Tabell 1. Sprekkeretning, fallvinkel og antall sprekker i borehull ved SiA, Lørenskog**

Databilag 1 – 5 viser tabeller over alle indikerte sprekker og strukturer. Her vises dyp, retning, fall, tykkelse (upper – lower depth), hulldiameter og hullretning.

### 3.2.3 Sprekkefrekvens

Som nevnt under kapittel 3.2.1 viser frekvenshistogrammene sprekkefrekvensen i definerte soner i borehullet. Databilag 6 – 10 viser gjennomsnittlig strøkretning, fallvinkel og sprekkefrekvens for middelplanet i hver definerte sone.

| Dyp (m)         | Største frekvens i sone | Gjennomsnittsfrekvens i sone | Gjennomsnittsretning, -fall |
|-----------------|-------------------------|------------------------------|-----------------------------|
| 14.59 – 20.13   | 4.1                     | 2.96                         | N009 – 14                   |
| 25.06 – 34.91   | 4.1                     | 3.09 , 2.14                  | N021 – 15 , N040 – 67       |
| 34.91 – 40.45   | 4.1                     | 3.82                         | N225 – 47                   |
| 53.13 – 62.50   | 6                       | 3.32 , 2.80                  | N017 – 16 , N266 – 50       |
| 71.88 – 78.13   | 6                       | 3.00 , 2.07                  | N021 – 19 , N196 – 54       |
| 78.13 – 84.38   | 6                       | 5.61 , 2.32                  | N009 – 20 , N198 – 62       |
| 104.11 – 109.50 | 8                       | 3.41                         | N157 – 66                   |
| 114.58 – 120.12 | 8                       | 4.49                         | N158 – 54                   |
| 137.36 – 142.90 | 6.2                     | 3.06                         | N018 – 58                   |
| 142.90 – 144.81 | 8                       | 7.84                         | N169 – 60                   |
| 148.15 – 153.54 | 6                       | 3.48                         | N144 – 52                   |
| 175.24 – 180.79 | 5.3                     | 2.89                         | N124 – 56                   |
| 180.79 – 191.25 | 4.5                     | 2.00 , 1.91                  | N353 – 17 , N127 – 64       |
| 216.25 – 218.10 | 3.5                     | 3.46                         | N198 – 48                   |
| 231.65 – 235.96 | 3.5                     | 2.99                         | N172 – 32                   |
| 235.96 – 240.88 | 3                       | 1.78                         | N143 – 59                   |

Tabell 2. SiA, Lørenskog. Soner i borehull med størst oppsprekking.

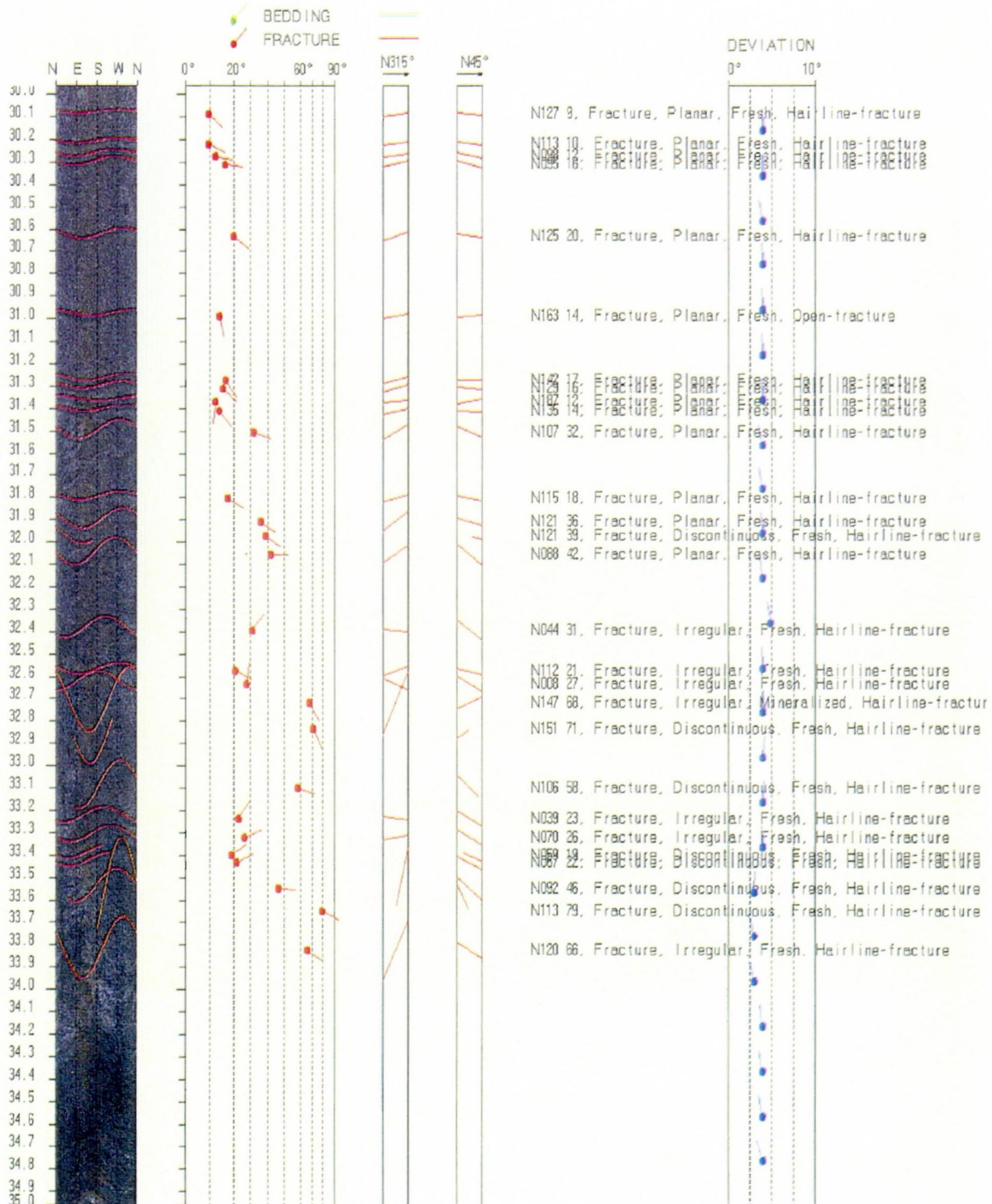
Tabell 2 viser soner i borehullet ved SiA som har størst sprekkefrekvens. Dette er et utdrag av soner med de største sprekkefrekvensene. Frekvenshistogrammene og databilag 6 – 10 gir alle data for alle sonene. Tabellen viser både maksimumsfrekvens og gjennomsnittsfrekvens i utvalgte soner samt gjennomsnittlig retning og fall til middelplanet for sonen. Når det er nevnt to frekvenser og retninger i samme sone betyr det at to grupper (farger) er representert. Ut fra tabellen ser en at oppsprekkingen er størst i soner mellom 104 og 145 m med opp til 8 sprekker pr. meter.

### 3.2.4 Eksempler på tolket logg

Figurene 13 – 17 viser eksempler på tolkede logger fra borehullet ved SiA, Lørenskog. Til venstre på loggen vises et bilde av tolket del av borehullet med digitaliserte sprekker. Videre vises et "pilplott" der pilens hode angir fallet mens halen angir fallretning. Strøkretning blir da vinkelrett fallretningen. To snitt sett fra to retninger illustrerer hvordan sprekene skjærer gjennom borehullet. Tolkede kommentarer er skrevet på ut for hver sprek. Her blir også tykkelsen (åpningen) av en sprek beregnet som for eksempel ved 76.4 m dyp, se figur 15, der tykkelsen av en mineralisert gang er beregnet til 0.085 m. Tilslutt vises borehullsforløpet med fall og retning (pilplott).

## OPTISK TELEVIEWER FRACTURE ANALYSIS LOG

Sentralsykehuset i Akershus, Lørenskog

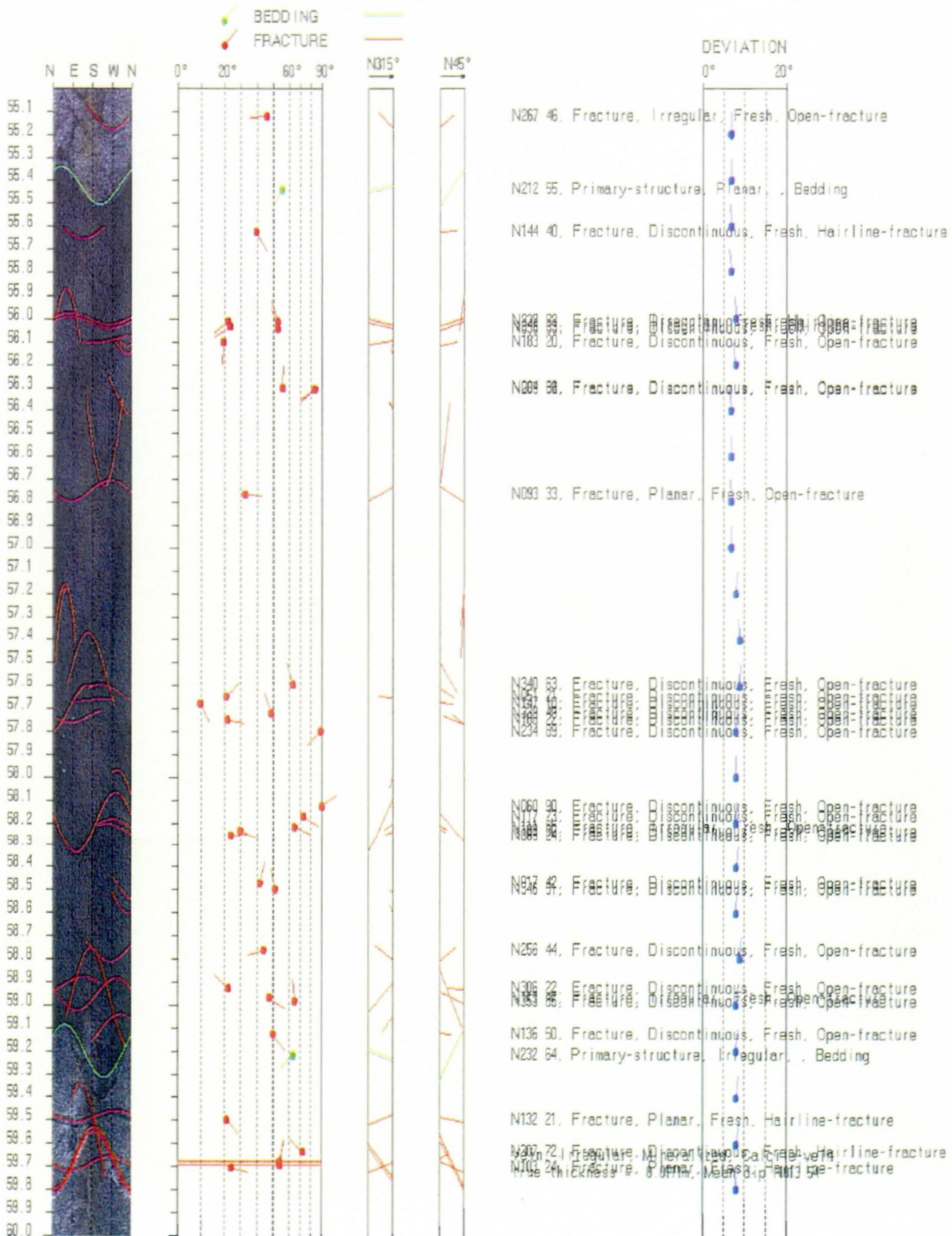


Figur 13. SiA, Lørenskog. Tolket OPTV logg, 30 – 35 m. Fra venstre, orientert bildelogg med indikerte sprekker, pilplot av de samme sprekkenene hvor pilens hode indikerer fallvinkel, og halen retningen, Nord er opp på plottet. To snitt, sett fra to retninger, viser hvordan sprekene skjærer hullet. Deretter vises tolkede kommentarer for hver sprek med strøk og fall, samt borehullsforløp.

# OPTISK TELEVIEWER

## FRACTURE ANALYSIS LOG

### Sentralsykehuset i Akershus, Lørenskog

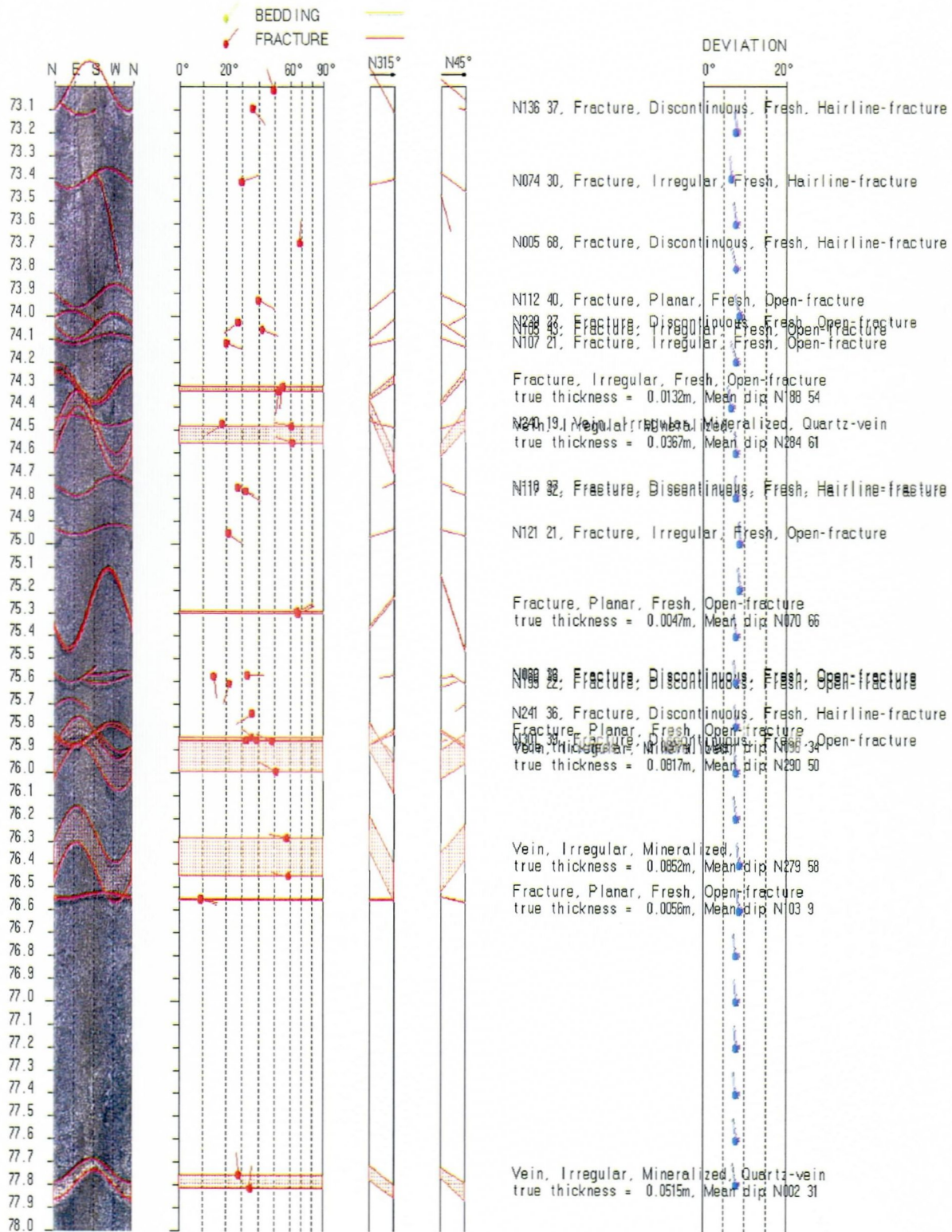


Figur 14. SiA, Lørenskog. Tolket OPTV logg, 55 - 60 m.

# OPTISK TELEVIEWER

## FRACTURE ANALYSIS LOG

Sentralsykehuset i Akershus, Lørenskog

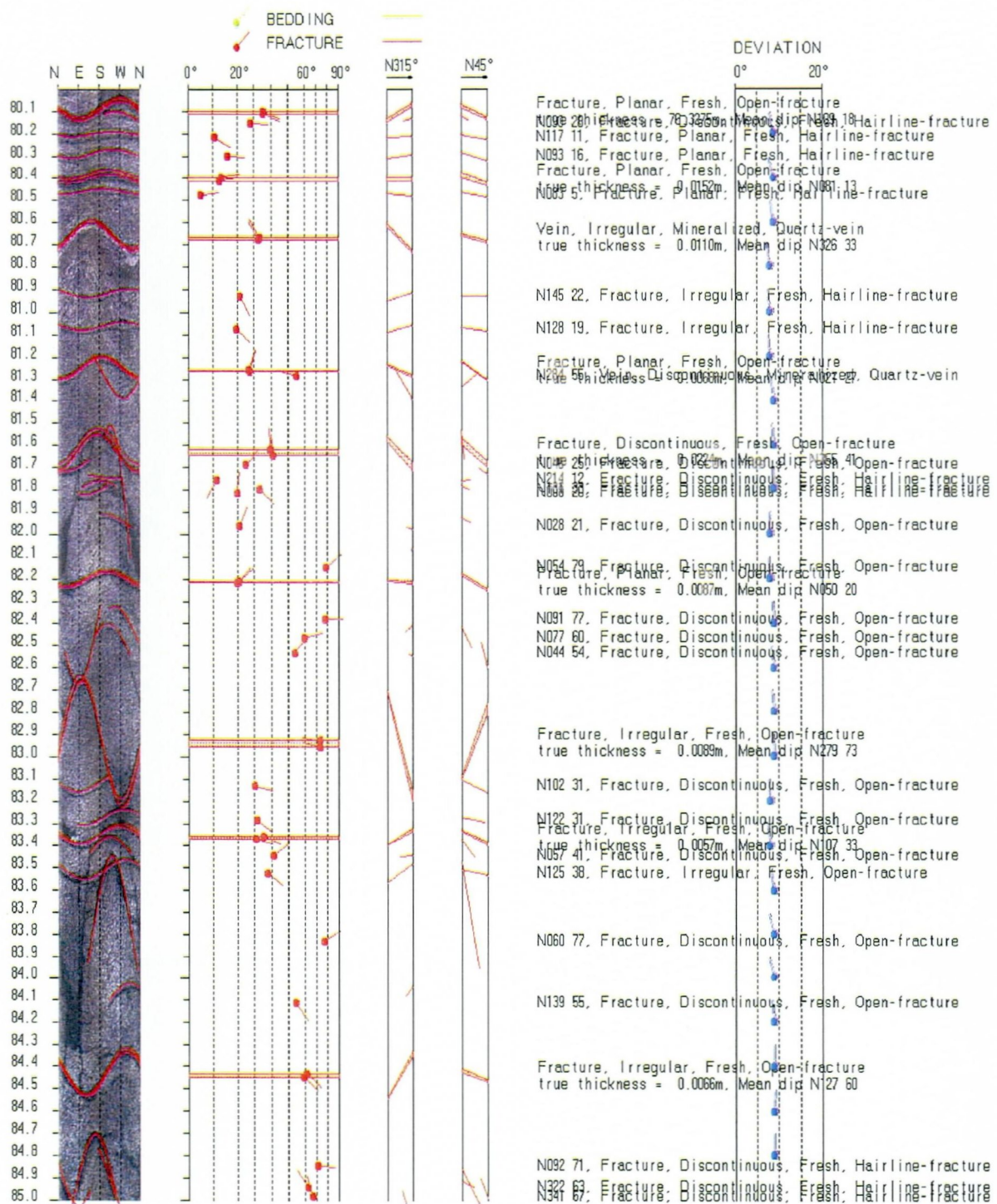


Figur 15. SiA, Lørenskog. Tolket OPTV logg, 73 -78 m.

# OPTISK TELEVIEWER

## FRACTURE ANALYSIS LOG

### Sentralsykehuset i Akershus, Lørenskog

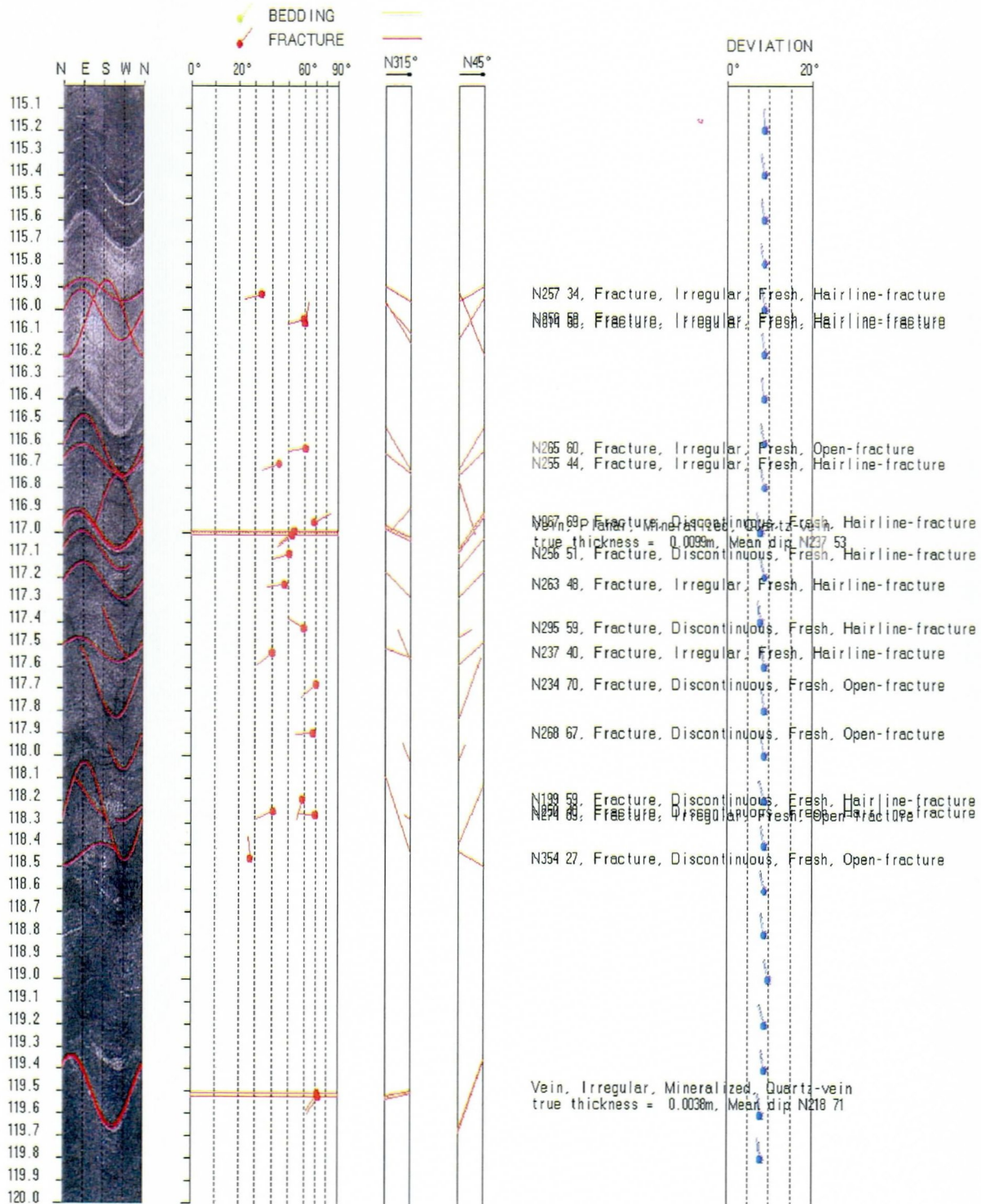


Figur 16. SiA, Lørenskog. Tolket OPTV logg, 80 -85 m.

# OPTISK TELEVIEWER

## FRACTURE ANALYSIS LOG

### Sentralsykehuset i Akershus, Lørenskog



Figur 17. SiA, Lørenskog. Tolket OPTV logg, 115 - 120 m.

### 3.2.5 Eksempler på bilde logg

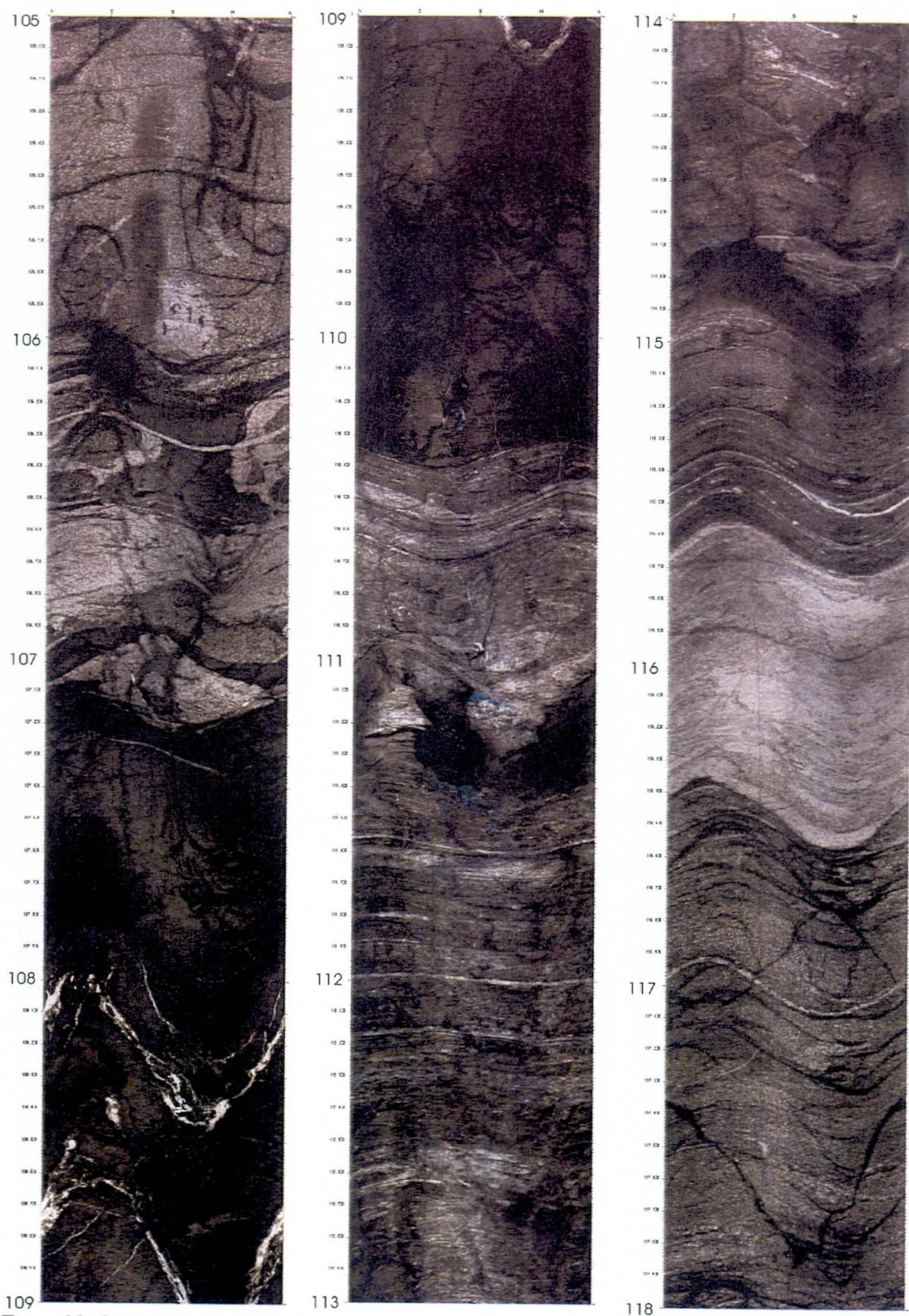
Figurene 18, 19 og 20 viser OPTV bildelogger av utvalgte områder i borehullet ved SiA, Lørenskog. Bildene er fra 105 – 138 m dyp og fra 222 – 239 m dyp. Ledningsevnlogen, figur 2, viser tydelig økning i den elektriske ledningsevnen i mellom 80 og 132 m dyp. Denne økningen kan skyldes innstrømning av vann med høyere ledningsevne enn i borehullet før øvrig. Det er derfor muligheter for åpne sprekker i dette området.

Bildelogen, figur 18, viser flere (åpne?) sprekker som ved 105.2 m, 105.6 m, 106 m. Det mørke området fra 107 – 110.3 m er oppsprukket og fra 116.4 – 118 m ser en flere sprekker. Ved ca 128 m får ledningsevnen en ekstra økning. Mellom 127 og 128 m observeres flere sprekker på bildelogen, figur 19. Videre er det mørke området mellom 134.8 og 136 m sterkt oppsprukket. Det er god grunn til å tro at flere av de observerte sprekken på figur 18 og 19 er åpne.

Gammaloggen, figur 2, viser stor variasjon i det samme området som beskrevet ovenfor. Bildeloggene viser også stor variasjon i geologien med hyppige innslag av lyse bergarter. Det er trolig økende innhold av kalium (kalifeltpat) som gir økning i gammastrålingen.

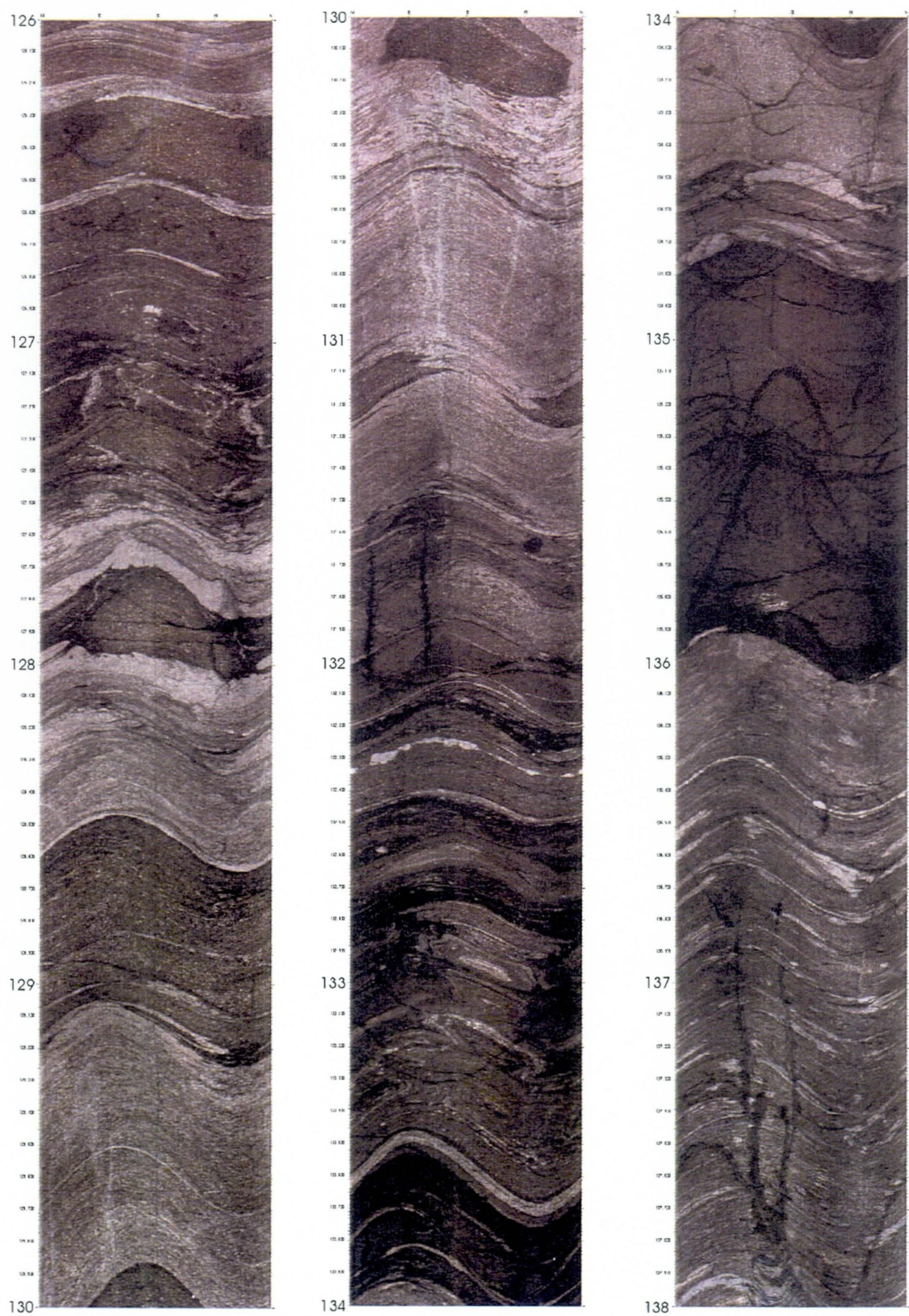
Figur 20 viser bildelogg fra 222 – 239 m. Fra 231 – 239 er bergarten (dioritt) massiv og lite oppsprukket. Ved 223 – 224 m dyp øker gammastålingen kraftig, se figur 2. Dette stemmer godt med det som observeres på bildelogg. Flere lyse bånd observeres fra 222 – 225 m og spesielt et ca 1.5 m tykt bånd fra 23.7 m kan være årsaken til den økte gammastrålingen.

## OPTV logg, Sia, Lørenskog



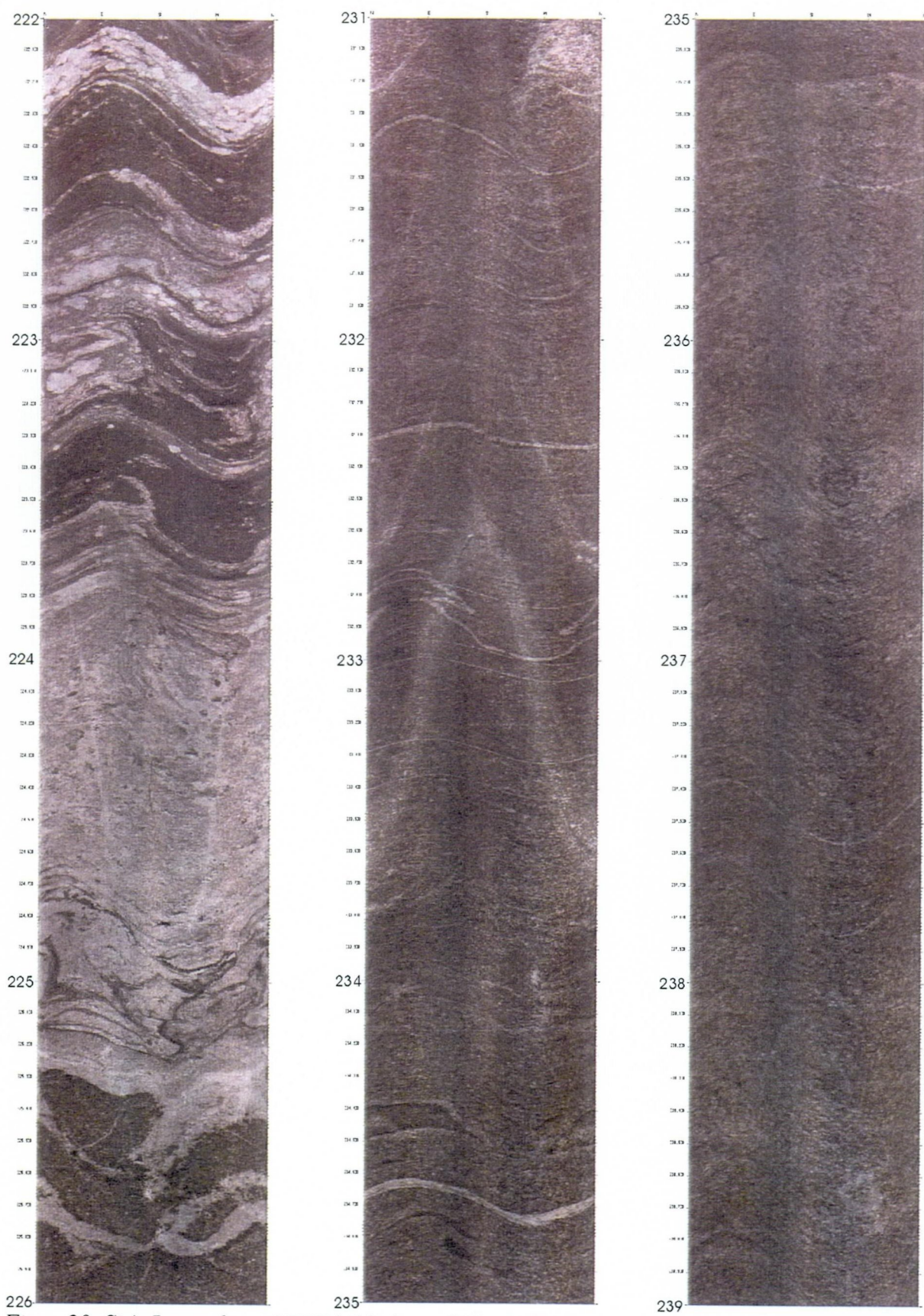
Figur 18. SiA, Lørenskog. OPTV bilde logg, 105 – 118 m.

## OPTV- logg, SiA, Lørenskog



Figur 19. SiA, Lørenskog. OPTV bilde logg, 126 - 138 m.

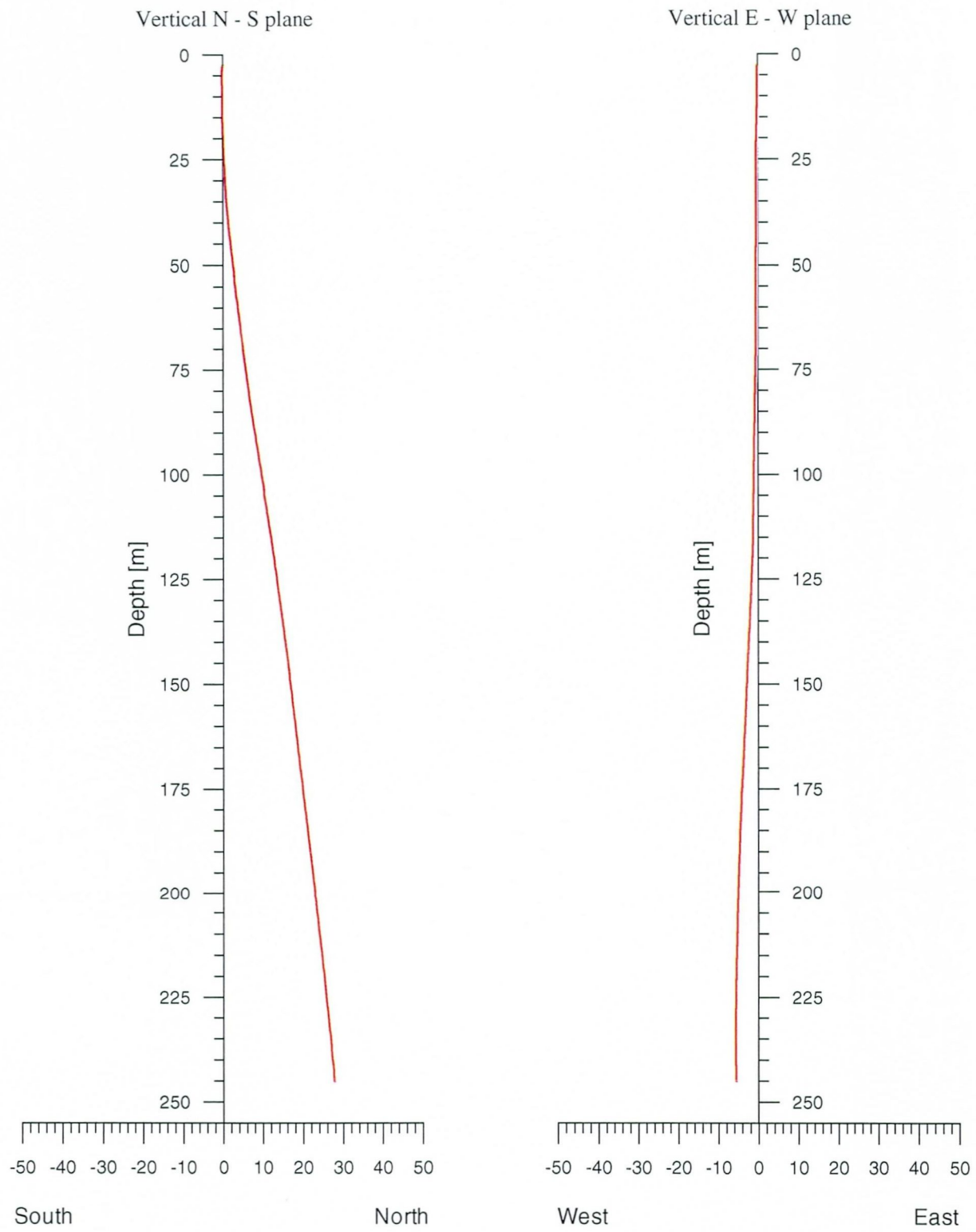
## OPTV logg, SiA, Lørenskog



Figur 20. SiA, Lørenskog. OPTV bilde logg, 222 - 239 m.

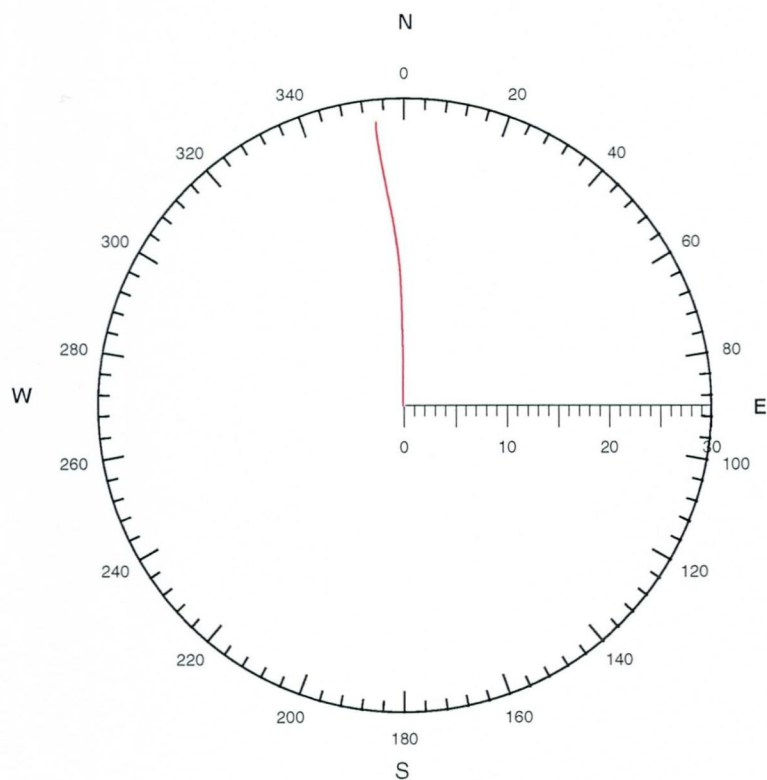
### 3.3 Borehullsforløp

Figur 21 viser borehullsforløpet av borehullet ved SiA, Lørenskog. Figuren viser vertikalprojeksjon i nord-sør og øst-vest retning.



Figur 21. SiA, Lørenskog. Borehullsforløp, vertikalprojeksjon i nord-sør og øst-vest retning.

Figur 22 viser horisontalprojeksjon av borehullsforløpet.



Figur 22. SiA, Lørenskog. Borehullsforløp, horisontalprojeksjon.

Borehullet er satt på i lodd. Fra ca 30 m begynner hullet å dra seg i nordlig retning og får et horisontalavvik i bunn på ca 28 m mot nord med en liten øst-vest komponent, ca 5 m mot vest, se figur 21.

#### 4. KONKLUSJON

Det er gjort borehullsinspeksjon med optisk televue i et 245 m dypt borehull ved SiA, Sentralsykehuset i Akershus, Lørenskog kommune. I tillegg er det logget temperatur og elektrisk ledningsevne i vannet samt målt total gammastråling langs borehullet. Hullet er boret i forbindelse med prosjektering av grunnvarmeanlegg.

Ledningsevnemålingene viser et område mellom 80 og 130 m dyp hvor ledningsevnen får en ekstra trinnvis økning. Dette kan tyde på åpne sprekker med innstrømning av vann med høyere ledningsevne enn i borehullet for øvrig. Den optiske loggen viser at det i dette området er flere sprekker, og flere av dem er trolig åpne. Ellers har målingene med optisk televue kartlagt strøkretning og fallvinkel til alle observert sprekker og strukturer i borehullet. Disse data er presentert i stereografisk projeksjon. Her er det også definert grupper av sprekker som representerer hovedsprekkerretninger. Sprekkfrekvensen (antall sprekker pr.

meter) er beregnet for hver definerte sprekkegruppe langs hele hullet. I tillegg er hullet inndelt i soner hvor sprekkefrekvensen er beregnet i hver sone.

Resultatene viser hovedsprekkeretninger-fallvinkel på N019 - 17, N265 – 50, øverst i hullet. Oppsprekkingen, sprekkefrekvensen, er størst mellom 53 og 153 m dyp. Her ligger sprekkefrekvensen i de definerte sonene mellom 6 og 8 sprekker pr. meter. Over og under dette dyp er maksimal sprekkefrekvens 3 – 5 sprekker pr. meter. Sprekkefrekvensen er presentert i frekvenshistogrammer som også viser at flere soner i hullet er lite oppsprukket.

Borehullsavviket er på ca 28 m i bunn av borehullet. Hullet dreier omtrent rett nord med en svak vestlig komponent.

Til denne rapporten kan skaffes en CD med et replay program for avspilling av OPTV logg for hele borehullet. Data ligger på denne CD.

## **5. REFERANSER**

Kukkonen, I.T., Gosnold, W.D. & Safanda, J. 1998: Anomalously low heat flow density in eastern Karelia, Baltic Shield: a possible paleoclimatic signature. *Technophysics*, 291, 235 – 249.

Midttømme, K., Skarphagen, H. & Elvebakk, H. 2000: Bruk av grunnvarme ved sentralsykehuset i Lørenskog – testboring, systemløsning og økonomiske beregninger.  
*NGU Rapport 2000.091.*

Robertson Geologging Ltd.: Interpretation manual. RGLDIP Version 5.2. 1999-2000.











|     |        |     |      |       |    |   |        |        |       |        |      |
|-----|--------|-----|------|-------|----|---|--------|--------|-------|--------|------|
| 210 | 56.009 | 338 | 52.6 | 0.000 | 3  | 2 | 56.083 | 56.101 | 0.140 | 358.00 | 8.00 |
| 211 | 55.622 | 144 | 39.7 | 0.000 | 4  | 2 | 55.616 | 55.680 | 0.140 | 354.94 | 7.00 |
| 212 | 55.436 | 212 | 55.5 | 0.000 | 7  | 0 | 55.335 | 55.537 | 0.140 | 359.00 | 7.00 |
| 213 | 55.120 | 267 | 45.7 | 0.000 | 4  | 2 | 55.095 | 55.192 | 0.140 | 359.52 | 7.00 |
| 214 | 54.946 | 121 | 72.4 | 0.000 | 5  | 2 | 54.839 | 55.167 | 0.140 | 360.00 | 7.00 |
| 215 | 54.942 | 107 | 69.9 | 0.000 | 6  | 2 | 54.751 | 54.878 | 0.140 | 359.85 | 7.00 |
| 216 | 54.866 | 122 | 68.4 | 0.000 | 9  | 2 | 54.691 | 55.041 | 0.140 | 358.58 | 7.00 |
| 217 | 54.817 | 219 | 55.1 | 0.000 | 6  | 2 | 54.718 | 54.916 | 0.140 | 359.00 | 7.56 |
| 218 | 54.801 | 220 | 56.3 | 0.000 | 6  | 2 | 54.697 | 54.905 | 0.140 | 359.00 | 7.88 |
| 219 | 54.617 | 39  | 1.5  | 0.000 | 4  | 2 | 54.615 | 54.619 | 0.140 | 358.87 | 8.00 |
| 220 | 54.226 | 118 | 71.1 | 0.000 | 9  | 2 | 54.023 | 54.429 | 0.140 | 4.39   | 7.00 |
| 221 | 54.209 | 118 | 70.8 | 0.000 | 10 | 2 | 54.009 | 54.409 | 0.140 | 4.72   | 7.00 |
| 222 | 54.177 | 223 | 62.4 | 0.000 | 5  | 2 | 54.197 | 54.311 | 0.140 | 4.63   | 7.00 |
| 223 | 54.132 | 353 | 43.0 | 0.000 | 6  | 2 | 54.067 | 54.197 | 0.140 | 3.22   | 7.00 |
| 224 | 54.067 | 344 | 35.7 | 0.000 | 5  | 2 | 54.017 | 54.115 | 0.140 | 1.00   | 7.00 |
| 225 | 53.964 | 13  | 50.0 | 0.000 | 6  | 2 | 53.881 | 54.047 | 0.140 | 0.38   | 7.00 |
| 226 | 53.945 | 11  | 48.9 | 0.000 | 5  | 2 | 53.865 | 54.025 | 0.140 | 359.94 | 7.00 |
| 227 | 53.587 | 22  | 28.7 | 0.000 | 4  | 2 | 53.549 | 53.609 | 0.140 | 354.83 | 8.00 |
| 228 | 53.256 | 80  | 6.9  | 0.000 | 4  | 2 | 53.248 | 53.264 | 0.140 | 358.00 | 7.00 |
| 229 | 53.126 | 44  | 10.4 | 0.000 | 4  | 2 | 53.113 | 53.139 | 0.140 | 355.61 | 7.00 |



NGU Rapport 2001.021  
Databilag 3 side 2

|     |         |     |      |       |   |   |         |         |       |        |       |
|-----|---------|-----|------|-------|---|---|---------|---------|-------|--------|-------|
| 61  | 121.236 | 121 | 34.7 | 0.000 | 4 | 2 | 121.188 | 121.284 | 0.140 | 338.18 | 8.00  |
| 62  | 121.018 | 142 | 32.9 | 0.000 | 4 | 2 | 120.973 | 121.063 | 0.140 | 341.12 | 9.00  |
| 63  | 120.901 | 217 | 68.9 | 0.000 | 6 | 2 | 120.721 | 121.081 | 0.140 | 343.88 | 8.00  |
| 64  | 120.623 | 201 | 10.5 | 0.000 | 4 | 2 | 120.610 | 120.636 | 0.140 | 347.00 | 9.00  |
| 65  | 119.522 | 218 | 71.7 | 0.000 | 6 | 2 | 119.312 | 119.732 | 0.140 | 349.52 | 8.00  |
| 66  | 119.509 | 218 | 71.1 | 0.000 | 6 | 2 | 119.307 | 119.711 | 0.140 | 349.28 | 8.00  |
| 67  | 118.460 | 354 | 27.0 | 0.000 | 4 | 2 | 118.424 | 118.495 | 0.140 | 348.43 | 8.72  |
| 68  | 118.264 | 274 | 68.8 | 0.000 | 9 | 2 | 118.086 | 118.442 | 0.140 | 343.09 | 9.00  |
| 69  | 118.247 | 250 | 40.4 | 0.000 | 3 | 2 | 118.230 | 118.307 | 0.140 | 342.07 | 9.00  |
| 70  | 118.198 | 199 | 58.9 | 0.000 | 3 | 2 | 118.107 | 118.314 | 0.140 | 340.09 | 9.00  |
| 71  | 117.896 | 268 | 67.2 | 0.000 | 5 | 2 | 117.909 | 118.063 | 0.140 | 351.00 | 9.00  |
| 72  | 117.683 | 234 | 69.8 | 0.000 | 5 | 2 | 117.508 | 117.873 | 0.140 | 346.25 | 9.00  |
| 73  | 117.542 | 237 | 40.0 | 0.000 | 3 | 2 | 117.484 | 117.600 | 0.140 | 347.15 | 8.93  |
| 74  | 117.430 | 295 | 59.1 | 0.000 | 4 | 2 | 117.373 | 117.547 | 0.140 | 349.30 | 8.00  |
| 75  | 117.230 | 263 | 47.7 | 0.000 | 4 | 2 | 117.154 | 117.306 | 0.140 | 344.30 | 8.30  |
| 76  | 117.094 | 256 | 50.7 | 0.000 | 5 | 2 | 117.008 | 117.180 | 0.140 | 346.03 | 8.00  |
| 77  | 117.009 | 238 | 52.2 | 0.000 | 6 | 2 | 116.920 | 117.098 | 0.140 | 346.28 | 8.00  |
| 78  | 116.993 | 236 | 53.2 | 0.000 | 6 | 2 | 116.900 | 117.086 | 0.140 | 346.00 | 8.00  |
| 79  | 116.951 | 67  | 68.6 | 0.000 | 5 | 2 | 116.772 | 117.016 | 0.140 | 346.00 | 8.00  |
| 80  | 116.691 | 255 | 44.3 | 0.000 | 6 | 2 | 116.624 | 116.758 | 0.140 | 345.00 | 9.00  |
| 81  | 116.626 | 265 | 60.5 | 0.000 | 7 | 2 | 116.504 | 116.748 | 0.140 | 345.00 | 9.00  |
| 82  | 116.060 | 14  | 59.7 | 0.000 | 8 | 2 | 115.941 | 116.179 | 0.140 | 353.72 | 8.28  |
| 83  | 116.040 | 256 | 58.9 | 0.000 | 5 | 2 | 115.925 | 116.155 | 0.140 | 353.79 | 8.10  |
| 84  | 115.930 | 257 | 33.9 | 0.000 | 5 | 2 | 115.884 | 115.976 | 0.140 | 348.42 | 9.00  |
| 85  | 113.469 | 156 | 25.6 | 0.000 | 4 | 2 | 113.436 | 113.502 | 0.140 | 357.00 | 10.00 |
| 86  | 111.327 | 232 | 62.8 | 0.000 | 6 | 2 | 111.193 | 111.461 | 0.140 | 0.00   | 10.00 |
| 87  | 111.119 | 227 | 70.8 | 0.000 | 4 | 2 | 110.921 | 111.317 | 0.140 | 353.00 | 10.00 |
| 88  | 109.106 | 324 | 17.3 | 0.000 | 4 | 2 | 109.084 | 109.128 | 0.140 | 351.14 | 9.00  |
| 89  | 108.853 | 262 | 76.4 | 0.000 | 6 | 2 | 108.568 | 109.138 | 0.140 | 0.15   | 9.85  |
| 90  | 108.772 | 261 | 76.5 | 0.000 | 8 | 2 | 108.484 | 109.060 | 0.140 | 359.47 | 9.00  |
| 91  | 108.241 | 235 | 77.5 | 0.000 | 6 | 2 | 107.930 | 108.552 | 0.140 | 3.72   | 10.00 |
| 92  | 108.163 | 231 | 75.1 | 0.000 | 6 | 2 | 107.904 | 108.422 | 0.140 | 357.78 | 10.00 |
| 93  | 107.844 | 250 | 66.6 | 0.000 | 4 | 2 | 107.791 | 108.006 | 0.140 | 349.89 | 9.00  |
| 94  | 107.480 | 133 | 13.6 | 0.000 | 3 | 2 | 107.463 | 107.497 | 0.140 | 350.00 | 9.00  |
| 95  | 107.006 | 324 | 33.9 | 0.000 | 6 | 2 | 106.960 | 107.052 | 0.140 | 351.20 | 10.00 |
| 96  | 106.946 | 298 | 34.6 | 0.000 | 4 | 2 | 106.898 | 106.994 | 0.140 | 353.96 | 10.00 |
| 97  | 106.448 | 260 | 75.8 | 0.000 | 6 | 2 | 106.175 | 106.721 | 0.140 | 358.00 | 9.00  |
| 98  | 106.288 | 232 | 43.3 | 0.000 | 4 | 2 | 106.223 | 106.353 | 0.140 | 351.69 | 9.16  |
| 99  | 106.276 | 235 | 42.8 | 0.000 | 5 | 2 | 106.212 | 106.340 | 0.140 | 351.22 | 9.39  |
| 100 | 105.804 | 346 | 5.1  | 0.000 | 3 | 2 | 105.798 | 105.810 | 0.140 | 347.00 | 10.00 |
| 101 | 105.525 | 335 | 25.0 | 0.000 | 6 | 2 | 105.493 | 105.557 | 0.140 | 349.80 | 10.00 |
| 102 | 105.515 | 340 | 24.0 | 0.000 | 6 | 2 | 105.484 | 105.546 | 0.140 | 350.20 | 10.00 |
| 103 | 105.456 | 309 | 11.7 | 0.000 | 6 | 2 | 105.442 | 105.470 | 0.140 | 351.00 | 10.00 |
| 104 | 105.226 | 48  | 3.4  | 0.000 | 4 | 2 | 105.222 | 105.230 | 0.140 | 348.62 | 10.00 |
| 105 | 105.133 | 17  | 6.5  | 0.000 | 4 | 2 | 105.125 | 105.141 | 0.140 | 347.00 | 10.00 |
| 106 | 105.112 | 340 | 49.3 | 0.000 | 8 | 2 | 105.032 | 105.192 | 0.140 | 347.00 | 10.00 |
| 107 | 105.094 | 345 | 48.1 | 0.000 | 6 | 2 | 105.017 | 105.171 | 0.140 | 346.97 | 10.00 |
| 108 | 104.999 | 18  | 19.2 | 0.000 | 4 | 2 | 104.975 | 105.023 | 0.140 | 346.93 | 10.00 |
| 109 | 104.991 | 14  | 18.1 | 0.000 | 7 | 2 | 104.968 | 105.014 | 0.140 | 347.00 | 10.00 |
| 110 | 104.781 | 248 | 3.5  | 0.000 | 5 | 2 | 104.777 | 104.785 | 0.140 | 348.28 | 9.00  |
| 111 | 104.110 | 326 | 4.0  | 0.000 | 6 | 2 | 104.105 | 104.115 | 0.140 | 0.57   | 9.00  |







RGLDIPv5.2 DIP DATA INTERPRETATION: FRACTURE ANALYSIS

borehole Lørenskog  
zone from 5.000 to 53.000 m  
22 Feb 2001

Data is classed into 1 types  
5 OPTV\_dips

Quality cut-off level: \*

Mean well deviation: 3.7deg to N353.2

| 4 small-circles defined |       |      |          |        |     |    |      |  |  |
|-------------------------|-------|------|----------|--------|-----|----|------|--|--|
| SEARCH AREA             |       |      | MEAN DIP |        |     |    |      |  |  |
|                         | azim  | p1   | cone     | strike | dip | n  | f    |  |  |
| 1                       | 291.8 | 75.4 | 34.6     | 19     | 16  | 61 | 1.34 |  |  |
| 2                       | 175.3 | 38.9 | 21.1     | 265    | 51  | 21 | 0.82 |  |  |
| 3                       | 104.0 | 38.1 | 31.8     | 194    | 48  | 15 | 0.50 |  |  |
| 4                       | 308.1 | 22.7 | 22.5     | 37     | 66  | 15 | 0.68 |  |  |

Total number of data = 112  
Number of data unaccounted for = 16

| ZONE<br>No. | DEVIATION<br>Dev | Azim  | DEPTH<br>TOP | BASE  | DATA | Str | Dip | n  | MEAN DIPS and FREQUENCIES |     |     |      |      |     |      |      |      |    |      |      |      |
|-------------|------------------|-------|--------------|-------|------|-----|-----|----|---------------------------|-----|-----|------|------|-----|------|------|------|----|------|------|------|
|             |                  |       |              |       |      |     |     |    | f                         | Str | Dip | n    |      |     |      |      |      |    |      |      |      |
| 1           | 0.7              | 323.1 | 5.97         | 9.66  | 12   | 326 | 8   | 4  | 1.09                      | 0   | 0   | 0.83 | 0    | 0   | 0.00 | 0    | 0    | 0  | 0.00 |      |      |
| 2           | 1.3              | 302.0 | 9.66         | 14.59 | 7    | 344 | 13  | 3  | 0.62                      | 0   | 0   | 0.85 | 46   | 72  | 1    | 0.61 | 0    | 0  | 0.00 |      |      |
| 3           | 1.8              | 319.2 | 14.59        | 20.13 | 23   | 9   | 14  | 16 | 2.96                      | 0   | 0   | 0.00 | 183  | 58  | 4    | 1.41 | 0    | 0  | 0.00 |      |      |
| 4           | 2.4              | 349.7 | 20.13        | 25.06 | 5    | 56  | 34  | 2  | 0.48                      | 0   | 0   | 0.00 | 0    | 0   | 0    | 0.00 | 47   | 66 | 1    | 0.47 |      |
| 5           | 3.5              | 356.2 | 25.06        | 34.91 | 43   | 21  | 15  | 29 | 3.03                      | 240 | 52  | 2    | 0.35 | 222 | 55   | 1    | 0.19 | 40 | 67   | 9    | 2.14 |
| 6           | 5.2              | 360.0 | 34.91        | 40.45 | 16   | 0   | 0   | 0  | 0.00                      | 268 | 50  | 12   | 3.82 | 225 | 47   | 3    | 0.85 | 26 | 62   | 1    | 0.36 |
| 7           | 6.5              | 357.7 | 40.45        | 46.61 | 9    | 27  | 44  | 2  | 0.43                      | 269 | 53  | 3    | 0.95 | 225 | 51   | 1    | 0.29 | 28 | 64   | 3    | 0.99 |
| 8           | 7.3              | 358.4 | 46.61        | 52.94 | 13   | 34  | 23  | 5  | 0.84                      | 266 | 51  | 4    | 1.21 | 184 | 42   | 1    | 0.22 | 0  | 0    | 0    | 0.00 |

RGLDIPr5.2 DIP DATA INTERPRETATION: FRACTURE ANALYSIS  
 borehole Lora  
 zone from 53.000 to 103.000 m  
 23 Oct 2000

Data is classed into 1 types  
 5 OPRV\_dips

Quality cut-off level: \*

Mean well deviation: 8.5deg to N355.2

| 4 small-circles defined |             |      | MEAN DIP |     |      |
|-------------------------|-------------|------|----------|-----|------|
|                         | SEARCH AREA |      | azim     | p1  | cone |
| 1                       | 285.1       | 71.7 | 40.7     | 19  | 116  |
| 2                       | 176.2       | 36.7 | 21.0     | 265 | 50   |
| 3                       | 105.8       | 32.9 | 26.7     | 198 | 56   |
| 4                       | 37.7        | 31.1 | 22.0     | 127 | 53   |
|                         |             |      |          |     | 9    |
|                         |             |      |          |     | 0.26 |

Total number of data = 177  
 Number of data unaccounted for = 42

| ZONE<br>No. | DEVIATION<br>Dev | DEPTHs m<br>TOP BASE | DATA Str Dip n | MEAN DIPS and FREQUENCIES |           |      |           |    |             |    |               |
|-------------|------------------|----------------------|----------------|---------------------------|-----------|------|-----------|----|-------------|----|---------------|
|             |                  |                      |                | f                         | Str Dip n | f    | Str Dip n | f  | Str Dip n   | f  | Str Dip n     |
| 1           | 7.6              | 0.5                  | 53.13          | 62.50                     | 61        | 17   | 16        | 30 | 3.32 266 50 | 14 | 2.80 198 56   |
| 2           | 7.6              | 357.2                | 62.50          | 67.71                     | 13        | 1246 | 12        | 1  | 0.20 0      | 0  | 0.00 190 71   |
| 3           | 7.9              | 354.6                | 67.71          | 71.88                     | 14        | 35   | 17        | 10 | 2.47 0      | 0  | 0.00 217 53   |
| 4           | 8.1              | 351.3                | 71.88          | 78.13                     | 35        | 21   | 19        | 18 | 3.00 262    | 50 | 4 1.21 196 54 |
| 5           | 8.6              | 352.5                | 78.13          | 84.38                     | 48        | 9    | 20        | 33 | 5.61 265    | 41 | 2 0.49 198 62 |
| 6           | 9.2              | 355.0                | 84.38          | 89.07                     | 8         | 0    | 0         | 0  | 0.00 251    | 67 | 1 0.87 215 37 |
| 7           | 9.5              | 353.3                | 89.07          | 96.88                     | 30        | 11   | 14        | 18 | 2.38 263    | 54 | 2 0.57 179 58 |
| 8           | 10.0             | 356.2                | 96.88          | 102.64                    | 10        | 71   | 27        | 6  | 1.09 275    | 42 | 2 0.56 197 44 |
|             |                  |                      |                |                           |           |      |           |    |             |    | 1 0.26 0      |
|             |                  |                      |                |                           |           |      |           |    |             |    | 0 0.00 0      |
|             |                  |                      |                |                           |           |      |           |    |             |    | 0 0.00 0      |
|             |                  |                      |                |                           |           |      |           |    |             |    | 0 0.00 0      |
|             |                  |                      |                |                           |           |      |           |    |             |    | 0 0.00 0      |

RGLDIPv5.2 DIP DATA INTERPRETATION: FRACTURE ANALYSIS

borehole  
zone from 104.000 to 145.000 m  
22 Feb 2001

Data is classed into 1 types  
5 OPRV\_dips

Quality cut-off level: \*

Mean well deviation: 8.7deg to N345.3

| 4 small-circles defined |             |      |      | MEAN DIP |        |     |      |
|-------------------------|-------------|------|------|----------|--------|-----|------|
|                         | SEARCH AREA | azim | p1   | cone     | strike | dip | f    |
| 1                       | 299.7       | 84.6 | 24.7 | 2        | 4      | 20  | 0.50 |
| 2                       | 147.9       | 41.5 | 29.6 | 239      | 41     | 20  | 0.6  |
| 3                       | 64.4        | 33.0 | 31.0 | 158      | 58     | 48  | 2.23 |
| 4                       | 283.9       | 37.4 | 22.8 | 21       | 48     | 13  | 0.44 |

Total number of data = 101  
Number of data unaccounted for = 8

| ZONE<br>No. | DEVIATION<br>Dev | Azim  | TOP    | DEPTHs m<br>BASE | DATA Str Dip n | No.<br>f       | MEAN DIPS and FREQUENCIES |               |             |             |           |          |
|-------------|------------------|-------|--------|------------------|----------------|----------------|---------------------------|---------------|-------------|-------------|-----------|----------|
|             |                  |       |        |                  |                |                | Str Dip n                 | f             | Str Dip n   | f           | Str Dip n | f        |
| 1           | 9.4              | 352.0 | 104.11 | 109.50           | 24  269 6 10   | 1.93  241 35 6 | 1.54  157 66 8            | 3.41  0 0 0   | 0  0 0 0    | 0  0 0 0    | 0  0 0 0  | 0  0 0 0 |
| 2           | 9.5              | 355.6 | 109.50 | 111.58           | 3  66 26 1     | 0.21  0 0      | 0.00  139 67 2            | 0.82  0 0 0   | 0  0 0 0    | 0  0 0 0    | 0  0 0 0  | 0  0 0 0 |
| 3           | 8.9              | 348.5 | 114.58 | 120.12           | 20  0 0 0      | 0.00  225 40 2 | 0.53  158 54 15           | 4.49  0 0 0   | 0  0 0 0    | 0  0 0 0    | 0  0 0 0  | 0  0 0 0 |
| 4           | 8.5              | 343.0 | 120.12 | 124.43           | 10  151 11 2   | 0.47  243 38 3 | 1.01  126 67 2            | 0.98  29 50 2 | 0.65  0 0 0 | 0  0 0 0    | 0  0 0 0  | 0  0 0 0 |
| 5           | 8.4              | 343.0 | 124.43 | 129.97           | 11  91 9 3     | 0.54  235 37 5 | 1.29  0 0 0               | 0.00  18 61 3 | 0.97  0 0 0 | 0  0 0 0    | 0  0 0 0  | 0  0 0 0 |
| 6           | 8.5              | 340.8 | 129.97 | 133.05           | 4  24 27 2     | 0.70  0 0 0    | 0.00  0 0 0               | 0  0 0 0      | 23  38 2    | 0.78  0 0 0 | 0  0 0 0  | 0  0 0 0 |
| 7           | 8.5              | 341.2 | 133.05 | 137.36           | 14  325 19 1   | 0.25  260 68 2 | 1.96  173 46 5            | 1.75  16 40 3 | 0.86  0 0 0 | 0  0 0 0    | 0  0 0 0  | 0  0 0 0 |
| 8           | 8.4              | 337.2 | 137.36 | 142.90           | 13  343 17 1   | 0.19  222 56 2 | 0.80  156 58 9            | 3.06  18 58 1 | 0.30  0 0 0 | 0  0 0 0    | 0  0 0 0  | 0  0 0 0 |
| 9           | 8.6              | 336.4 | 142.90 | 144.81           | 10  0 0 0      | 0.00  0 0 0    | 0.00  169 60 7            | 7.84  25 46 2 | 1.37  0 0 0 | 0  0 0 0    | 0  0 0 0  | 0  0 0 0 |

RGLDIPv5.2 DIP DATA INTERPRETATION: FRACTURE ANALYSIS

borehole  
zone from 148.000 to 196.000 m  
26 Feb 2001

Data is classed into 1 types  
5 OPRV\_dips

Quality cut-off level: \*

Mean well deviation: 7.6deg to N339.8

| 5 small-circles defined |             |      |          |        |     |    |      |  |  |  |
|-------------------------|-------------|------|----------|--------|-----|----|------|--|--|--|
|                         | SEARCH AREA |      | MEAN DIP |        |     |    |      |  |  |  |
|                         | azim        | p1   | cone     | strike | dip | n  | f    |  |  |  |
| 1                       | 237.5       | 81.2 | 28.6     | 341    | 10  | 36 | 0.77 |  |  |  |
| 2                       | 113.0       | 34.3 | 34.2     | 197    | 47  | 17 | 0.57 |  |  |  |
| 3                       | 42.6        | 31.6 | 31.5     | 131    | 56  | 39 | 1.35 |  |  |  |
| 4                       | 283.7       | 36.7 | 21.4     | 14     | 50  | 20 | 0.61 |  |  |  |
| 5                       | 335.7       | 35.4 | 21.6     | 69     | 58  | 15 | 0.50 |  |  |  |

Total number of data = 127  
Number of data unaccounted for = 9

| ZONE<br>No. | DEVIATION<br>Dev | DEPTHs m<br>Azim | DATA <br>TOP | STR <br>BASE | n  | f   | MEAN DIPS and FREQUENCIES |              |      |     |    |     |      |     |    |    |      |      |    |      |      |    |    |      |      |
|-------------|------------------|------------------|--------------|--------------|----|-----|---------------------------|--------------|------|-----|----|-----|------|-----|----|----|------|------|----|------|------|----|----|------|------|
|             |                  |                  |              |              |    |     | No.                       | DATA <br>Str | Dip  | n   | f  | Str | Dip  | n   | f  |    |      |      |    |      |      |    |    |      |      |
| 1           | 8.0              | 338.6            | 148.15       | 153.54       | 23 | 161 | 6                         | 3            | 0.57 | 220 | 36 | 2   | 0.50 | 144 | 52 | 12 | 3.48 | 2.47 | 6  | 1.56 | 0    | 0  | 0  | 0.00 |      |
| 2           | 7.8              | 340.6            | 153.54       | 156.15       | 0  | 0   | 0                         | 0            | 0.00 | 0   | 0  | 0   | 0.00 | 0   | 0  | 0  | 0.00 | 0    | 0  | 0    | 0    | 0  | 0  | 0.00 |      |
| 3           | 7.6              | 338.5            | 156.15       | 164.16       | 27 | 303 | 6                         | 12           | 1.53 | 198 | 41 | 6   | 1.08 | 124 | 44 | 3  | 0.49 | 18   | 41 | 1    | 0.16 | 81 | 52 | 4    | 0.70 |
| 4           | 7.5              | 337.2            | 164.16       | 171.55       | 13 | 266 | 29                        | 1            | 0.17 | 206 | 40 | 4   | 0.78 | 126 | 64 | 4  | 1.09 | 13   | 42 | 1    | 0.17 | 57 | 60 | 1    | 0.22 |
| 5           | 7.5              | 335.5            | 171.55       | 175.24       | 0  | 0   | 0                         | 0            | 0.00 | 0   | 0  | 0   | 0.00 | 0   | 0  | 0  | 0.00 | 0    | 0  | 0    | 0    | 0  | 0  | 0.00 |      |
| 6           | 7.4              | 339.8            | 175.24       | 180.79       | 20 | 0   | 0                         | 0            | 0.00 | 0   | 0  | 0   | 0.00 | 124 | 56 | 10 | 2.89 | 21   | 62 | 5    | 1.65 | 66 | 59 | 2    | 0.58 |
| 7           | 7.5              | 342.5            | 180.79       | 191.25       | 49 | 353 | 17                        | 20           | 2.00 | 185 | 72 | 1   | 0.37 | 127 | 64 | 10 | 1.91 | 19   | 48 | 7    | 0.93 | 67 | 61 | 8    | 1.29 |
| 8           | 7.2              | 343.3            | 191.25       | 194.33       | 0  | 0   | 0                         | 0            | 0.00 | 0   | 0  | 0   | 0.00 | 0   | 0  | 0  | 0.00 | 0    | 0  | 0    | 0    | 0  | 0  | 0.00 |      |
| 9           | 7.7              | 345.9            | 194.33       | 195.75       | 4  | 0   | 0                         | 0            | 0.00 | 185 | 64 | 4   | 7.15 | 0   | 0  | 0  | 0.00 | 0    | 0  | 0    | 0    | 0  | 0  | 0.00 |      |

RGLDIPv5.2 DIP DATA INTERPRETATION: FRACTURE ANALYSIS

borehole  
zone from 201.000 to 246.000 m  
26 Feb 2001

Data is classed into 1 types  
5 OPRV\_dips

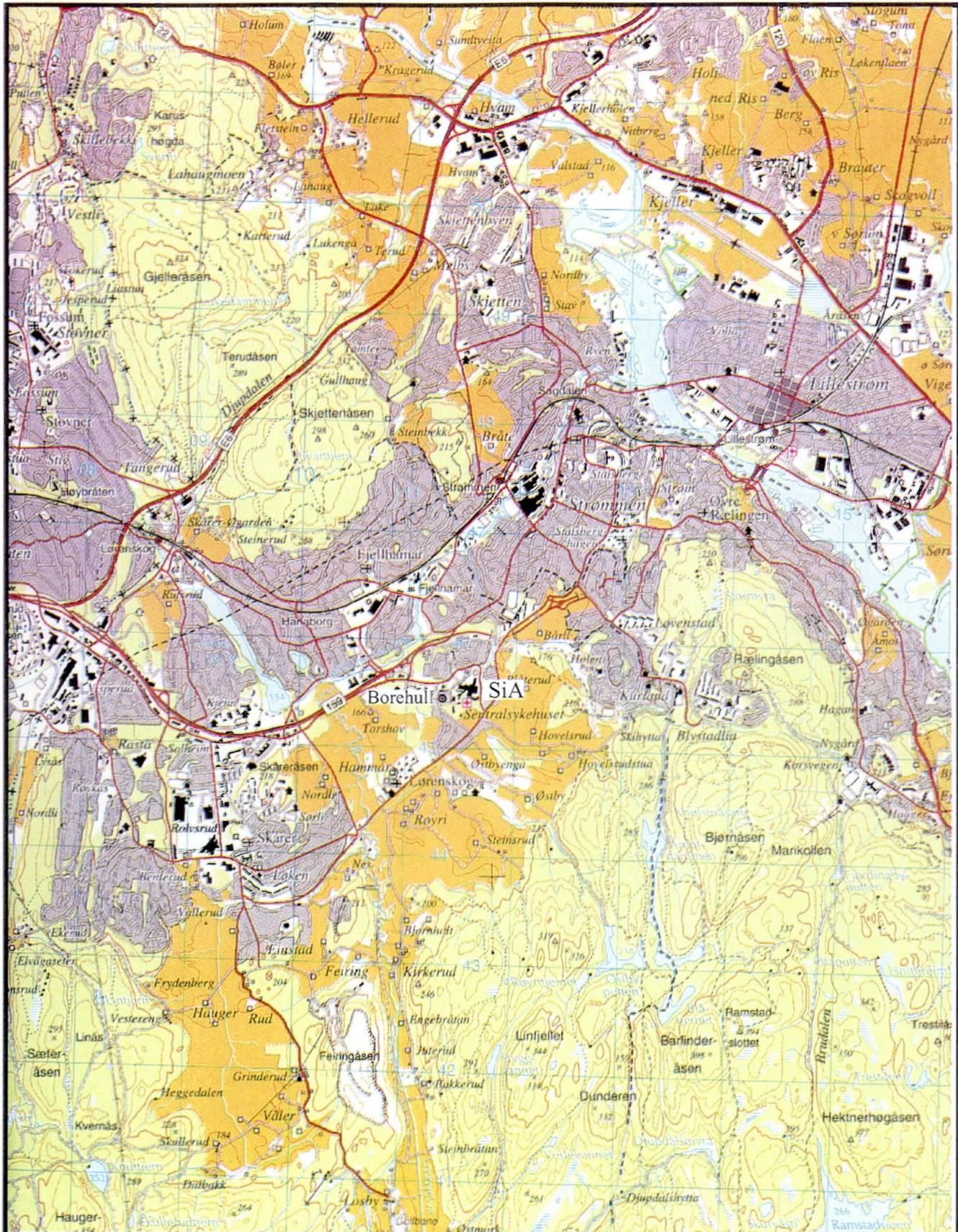
Quality cut-off level: \*

Mean well deviation: 6.2deg to N353.7

| 4 small-circles defined |             |      |      | MEAN DIP |        |     |      |
|-------------------------|-------------|------|------|----------|--------|-----|------|
|                         | SEARCH AREA | azim | p1   | Cone     | strike | dip | n    |
| 1                       | 218.2       | 78.0 | 18.5 | 353      | 8      | 10  | 0.23 |
| 2                       | 99.5        | 48.0 | 25.1 | 184      | 37     | 18  | 0.52 |
| 3                       | 47.2        | 24.9 | 21.6 | 142      | 63     | 11  | 0.50 |
| 4                       | 186.6       | 27.9 | 14.3 | 276      | 64     | 5   | 0.32 |

Total number of data = 44  
Number of data unaccounted for = 11

| ZONE<br>No. | DEVIATION<br>Dev | Azim  | TOP    | DEPTHs m<br>BASE | DATA | Str Dip | n  | MEAN DIPS and FREQUENCIES |      |     |    |      |      |
|-------------|------------------|-------|--------|------------------|------|---------|----|---------------------------|------|-----|----|------|------|
|             |                  |       |        |                  |      |         |    | f                         | Str  | Dip | n  | f    |      |
| 1           | 7.0              | 347.8 | 201.48 | 209.94           | 4    | 28      | 5  | 1                         | 0.12 | 0   | 0  | 0.00 | 0    |
| 2           | 6.8              | 347.4 | 209.94 | 216.25           | 7    | 115     | 3  | 1                         | 0.16 | 0   | 0  | 0.00 | 0    |
| 3           | 6.6              | 350.1 | 216.25 | 218.10           | 5    | 1       | 0  | 0                         | 0.00 | 198 | 48 | 4    | 1.02 |
| 4           | 6.3              | 351.2 | 218.10 | 226.11           | 2    | 0       | 0  | 0                         | 0.00 | 197 | 56 | 2    | 0.00 |
| 5           | 6.2              | 353.3 | 226.11 | 231.65           | 10   | 342     | 14 | 3                         | 0.56 | 188 | 28 | 1    | 0.00 |
| 6           | 5.8              | 359.4 | 231.65 | 235.96           | 14   | 333     | 8  | 2                         | 0.47 | 172 | 32 | 11   | 2.99 |
| 7           | 5.5              | 4.1   | 235.96 | 240.88           | 8    | 0       | 0  | 0                         | 0.00 | 0   | 0  | 0.00 | 0    |
| 8           | 5.3              | 11.8  | 240.88 | 245.06           | 5    | 13      | 7  | 3                         | 0.73 | 0   | 0  | 0.00 | 0    |



OVERSIKTSKART

## Sia, LØRENSKOG

LØRENSKOG KOMMUNE, AKERSHUS

NORGES GEOLOGISKE UNDERSØKELSE  
TRONDHEIM

MÅLESTOKK

1:50 000

MÅLT HE

Aug. 2000

TEGN HE

Mars 2000

TRAC

KFR

TEGNING NR  
2001.021-01

KARTBLAD NR  
1914 IV